

INGEOMINAS
OBSERVATORIO VULCANOLOGICO
DE COLOMBIA
Manizales

APARTADO AEREO 1296. TELEX 83443 (Cevul co)

Boletín Informativo
Nº 37

Febrero 1990



REPUBLICA DE COLOMBIA
MINISTERIO DE MINAS Y ENERGIA

INSTITUTO NACIONAL DE INVESTIGACIONES GEOLÓGICO-MINERAS

7257
37



I N G E O M I N A S

OBSERVATORIO VULCANOLOGICO DE COLOMBIA

Direccion: Avenida 12 de Octubre No. 15-47
Address Manizales - Caldas - Colombia

Telefonos: (968) 843004 - 843005 - 843007
Fax No. (5768) 826735

FEBRERO 1990

LA PRESENTE INFORMACION ES PRELIMINAR, CONFIDENCIAL Y SUJETA A MODIFICACIONES, POR LO TANTO DEBE SOLICITARSE AUTORIZACION ESCRITA AL O.V.C. ANTES DE CITARSE ALGUNA PUBLICACION.

MANIZALES, COLOMBIA

SISMOLOGIA

FEBRERO DE 1990

ACTIVIDAD SISMICA DEL VOLCAN NEVADO DEL RUIZ

RESUMEN

La actividad sismica asociada al Volcán Nevado del Ruiz presentó niveles bajos, tanto en eventos de alta frecuencia como de baja frecuencia.

La sismicidad se presentó dispersa en el área del cráter, adicionalmente de un agrupamiento hacia el NW, asociado a un pequeño enjambre ocurrido el día 7.

El tremor ocurrió en forma de pulsos, pero en general manteniendo niveles bajos.

NUMERO DE EVENTOS SISMICOS

Durante el mes de Febrero se presentó una disminución en el número de eventos de alta frecuencia, tal igual que en el número de eventos de baja frecuencia.

Se discriminaron de la siguiente forma:

Alta frecuencia: 589

Baja frecuencia: 1426

Superficiales: 11

Los días con mayor número de sismos de baja frecuencia fueron el 16 y el 24, con 143 y 119 eventos respectivamente, en tanto que los eventos de alta frecuencia no presentaron picos importantes (Figuras 1 a 3).

ENERGIA LIBERADA

La energía sismica liberada presentó niveles relativamente bajos, tanto en la sismicidad de alta frecuencia como en la de baja frecuencia (Figuras 4 a 6).

LOCALIZACION DE SISMOS DE ALTA FRECUENCIA

La sismicidad durante este mes no presentó un patrón claro de concentración de los sismos, a excepción de un enjambre de muy baja energía ocurrido el 7 de Febrero entre las 19:40 H y las 21:30 H, localizado hacia el NW del cráter Arenas, y con 6.5 km de profundidad (Figuras 7 a 9).

SISMOS DIARIOS EN EL RUIZ EARTHQUAKES DAILY NUMBER

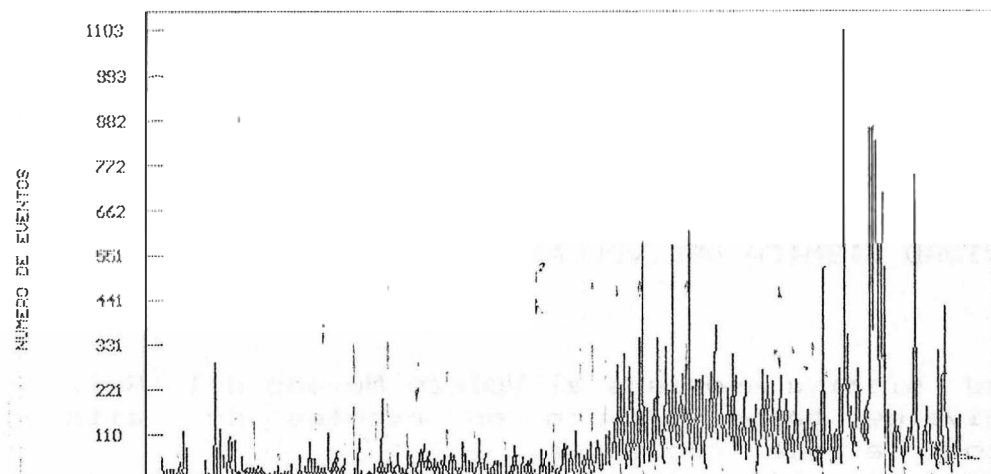


Fig. 1. 85/07/20 86/01/15 86/07/13 87/01/08 87/07/06 88/01/01 88/06/28 88/12/24 89/06/21 89/12/17
JUL/85 - FEB/89

SISMOS DIARIOS ACUMULADOS ALTA Y BAJA FREC. EARTHQUAKES DAILY NUMBER (H.F. & L.F.)

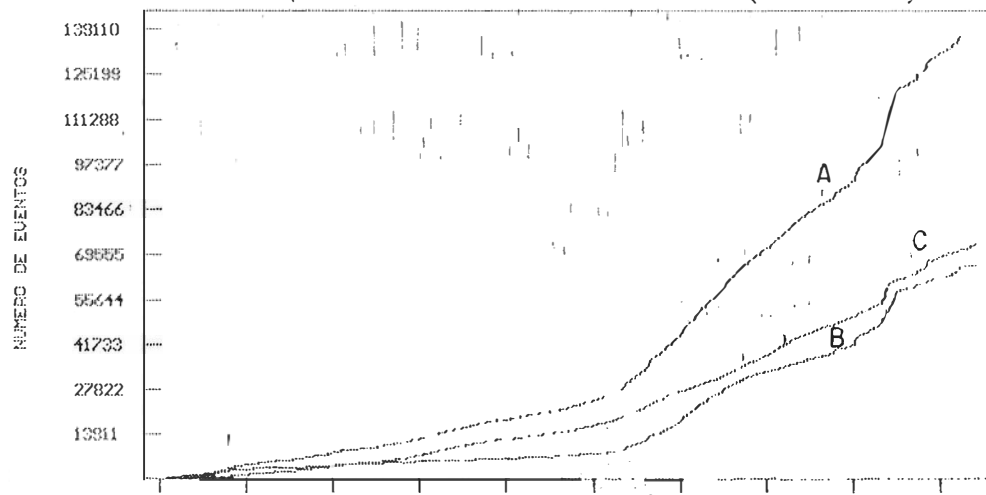


Fig. 2. 85/07/20 86/01/15 86/07/13 87/01/08 87/07/06 88/01/01 88/06/28 88/12/24 89/06/21 89/12/17
JUL/85 - FEB/89

SISMOS DIARIOS EN EL RUIZ EARTHQUAKES DAILY NUMBER

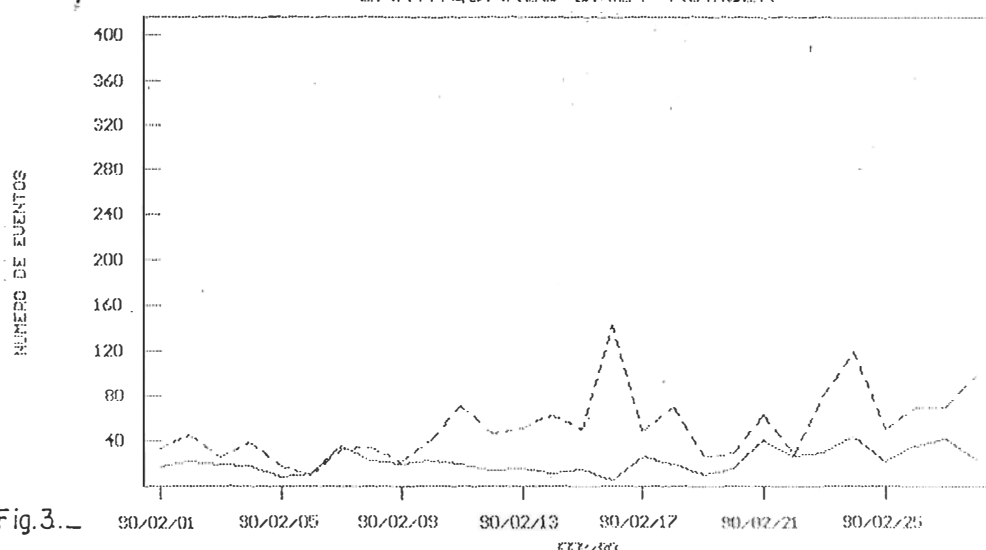


Fig. 3. 90/02/01 90/02/05 90/02/09 90/02/13 90/02/17 90/02/21 90/02/25
FEB/90 MAR/90

ENERGIA LIBERADA DIARIA ALTA Y BAJA FRECUENCIA DAILY ENERGY RELEASE (H.F. & L.F.)

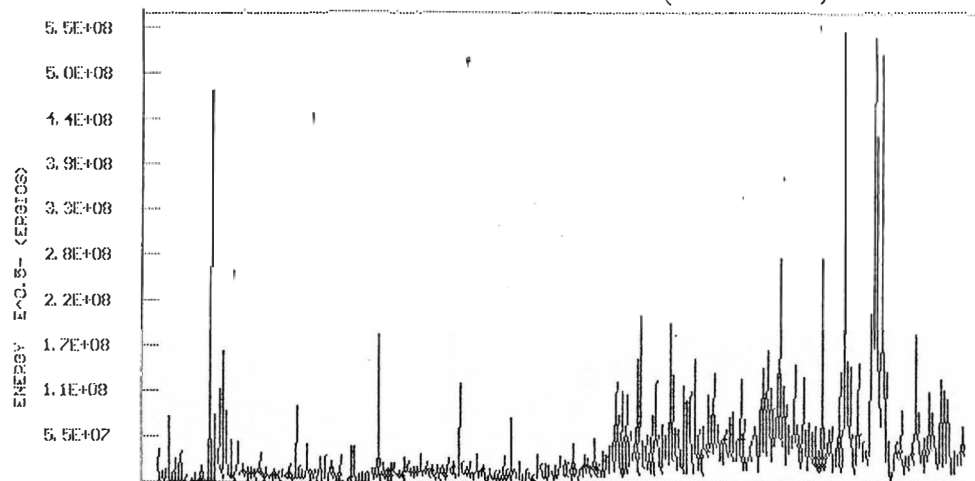


Fig. 4.— 85/02/20 86/01/15 86/07/13 87/01/08 87/07/06 88/01/01 88/06/28 88/12/24 89/06/21 89/12/17
JUL/85 - FEB/90

ENERGIA LIBERADA ALUMULADA EN EL RUIZ CUMULATIVE ENERGY RELEASE

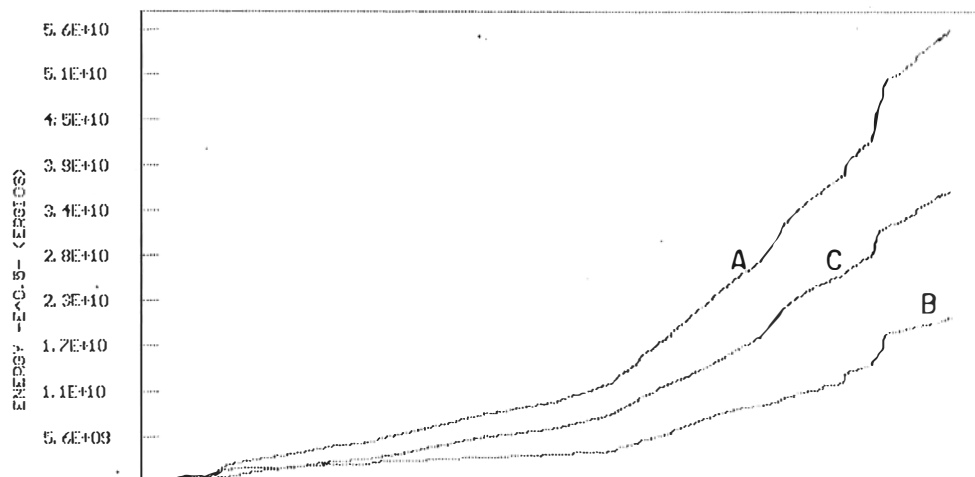


Fig.5.— 85/02/20 86/01/15 86/07/13 87/01/08 87/07/06 88/01/01 88/06/28 88/12/24 89/06/21 89/12/17
A Alta+Baja freq. B Alta freq. C Baja freq.

ENERGIA LIBERADA DIARIA ALTA Y BAJA FRECUENCIA DAILY ENERGY RELEASE (H.F. & L.F.)

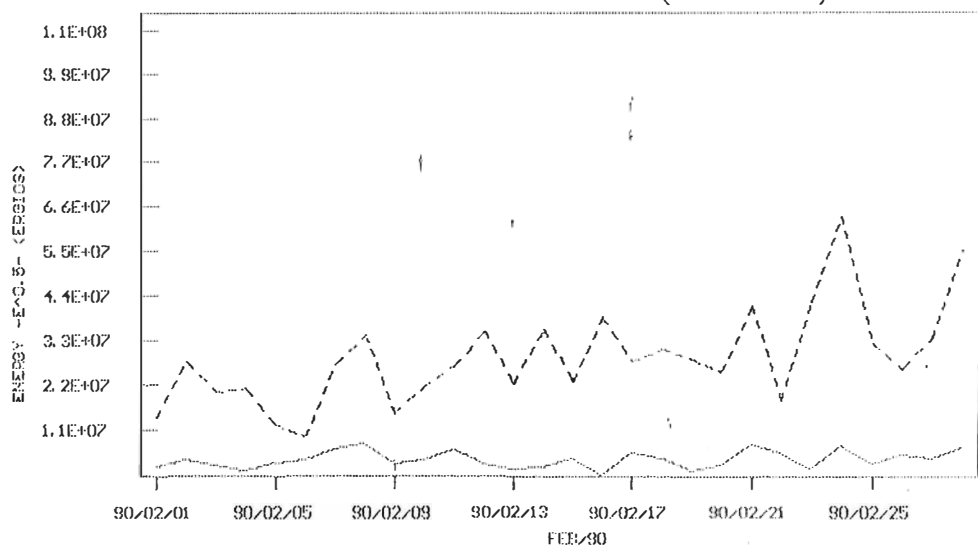


Fig.6.— Alta freq. Baja freq.

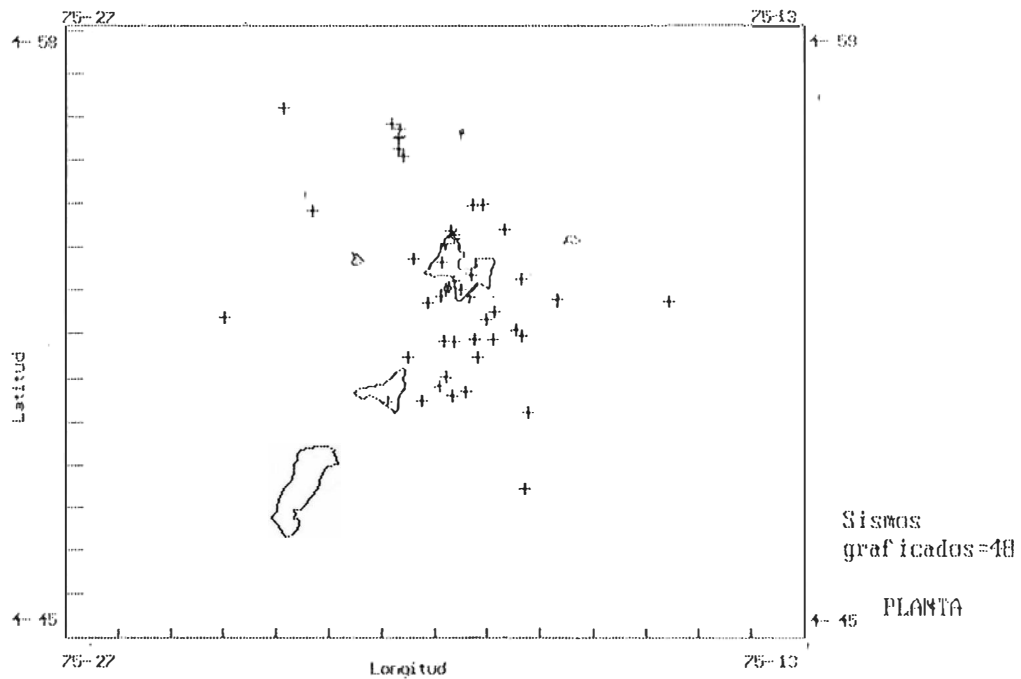


Fig 7.— SISMOS VOLCAN NEVADO DEL RUIZ - FEBRERO DE 1990

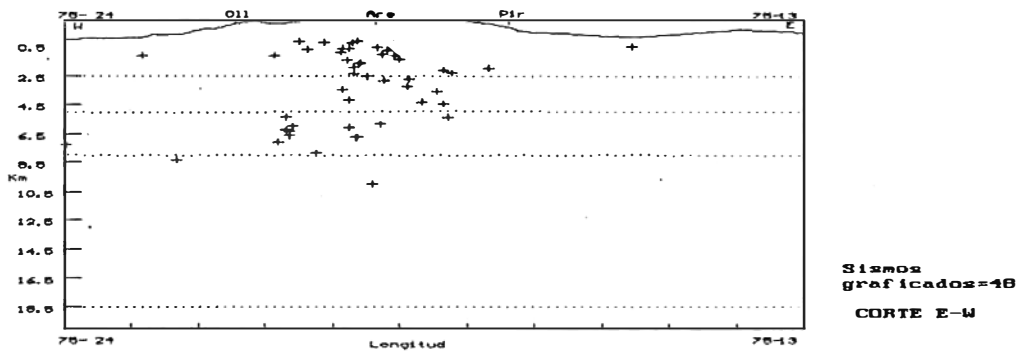


Fig.8...—

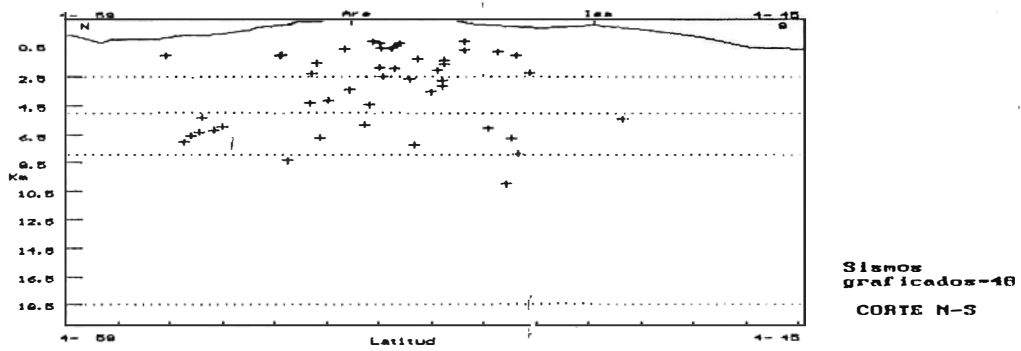
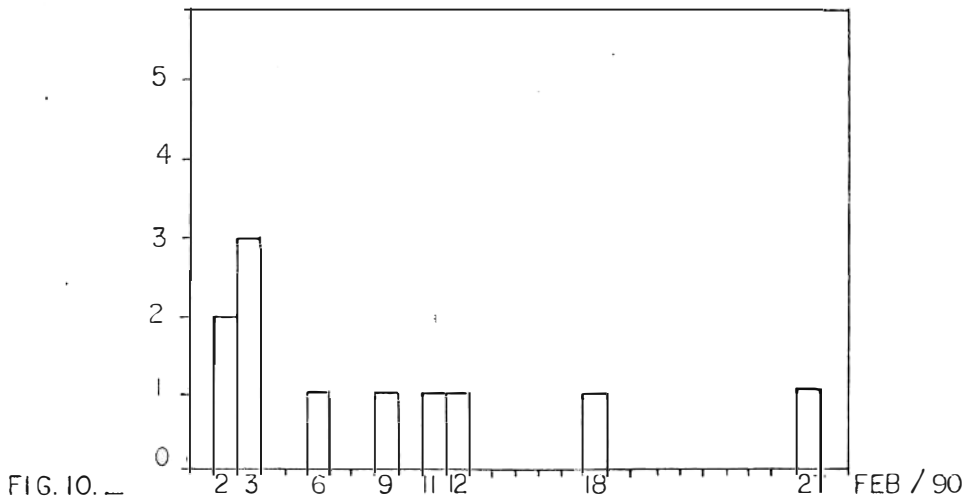


Fig.9...—

EVENTOS SISMICOS SUPERFICIALES

La ocurrencia de éste tipo de eventos durante este mes fué muy baja (Figura 10).



TREMOR

La señal de tremor se caracterizó por ocurrir en forma de pulsos, presentando un leve incremento con respecto al mes anterior, tanto en número de pulsos como en energía liberada; sin embargo continuando bajos los niveles de ambos parámetros.

Los pulsos de tremor se caracterizaron por presentar frecuencias que oscilan entre 6.6 y 2.5 Hz, y por no estar claramente asociados a emisiones de cenizas (Figuras 11).

TABLA 1. PARAMETROS DE LOCALIZACION DE SISMOS DE ALTA FRECUENCIA
VOLCAN NEVADO DEL RUIZ - FEBRERO DE 1990

DATE	ORIGIN	LAT N	LONG W	DEPTH	MAG	NO GAP	DMIN	RMS	ERH	ERZ	GM	
900201	1 0 18.31	4-48.45	75-19.27	5.49	1.35	9 264	6.6	0.08	1.0	1.7	C1	
900201	1729	7.01	4-50.59	75-19.64	6.79	1.08	7 193	3.7	0.11	1.4	1.8	C1
900201	1946	31.89	4-57.20	75-22.84	1.04	0.88	6 303	6.2	0.09	2.1	1.7	C1
900202	1253	18.80	4-51.02	75-19.76	6.11	0.73	7 176	3.4	0.08	0.9	1.5	B1
900202	13 3	29.27	4-50.67	75-19.40	10.00	1.58	8 198	3.3	0.13	1.4	2.8	C1
900202	2257	21.94	4-54.39	75-19.68	2.30	1.69	8 127	2.3	0.08	0.5	1.6	B1
900203	820	26.51	4-51.89	75-19.22	2.77	0.73	7 147	1.8	0.05	0.4	0.7	B1
900203	1449	4.97	4-50.25	75-18.21	2.25	1.14	7 249	3.3	0.06	1.0	3.8	C1
900203	2336	17.00	4-54.43	75-18.67	4.32		7 175	3.8	0.05	0.4	0.7	B1
900203	2338	13.22	4-54.22	75-19.62	6.81	0.55	8 129	2.3	0.23	2.0	2.3	B1
900204	855	52.40	4-52.77	75-15.55	0.33	0.73	11 282	5.2	0.24	1.3	1.3	C1
900204	1852	11.70	4-53.07	75-19.76		0.95	6 176	2.8	0.09	0.4	0.4	B1
900205	15 4	27.81	4-51.90	75-18.88	3.20	1.58	6 231	1.2	0.06	1.5	2.3	C1
900206	1957	26.20	4-56.26	75-20.69	6.27	1.58	5 168	3.4	0.02	0.4	0.7	C1
900206	2226	16.07	4-50.83	75-19.88	0.79	1.08	7 180	3.7	0.09	0.7	1.7	B1
900206	2258	53.14	4-54.29	75-19.57	1.51		6 131	2.4	0.02	0.1	0.2	B1
900207	1327	21.95	4-53.38	75-19.29	5.93	0.73	8 145	3.2	0.07	0.5	0.9	B1
900207	2027	20.87	4-56.49	75-20.68	5.42	1.80	10 179	3.4	0.08	0.6	0.9	B1
900207	2028	12.24	4-52.41	75-23.99	7.27	1.28	11 182	5.5	0.30	1.8	2.7	C1
900207	2034	40.14	4-56.71	75-20.65	6.63	1.08	12 190	3.4	0.08	0.5	0.5	C1
900207	21 3	10.65	4-56.10	75-20.59	6.04	1.30	11 160	3.3	0.10	0.6	0.8	B1
900207	2214	1.79	4-56.56	75-20.65	6.40	1.08	12 183	3.3	0.15	0.9	0.9	C1
900208	1556	42.01	4-52.52	75-18.86	2.65	1.35	6 128	1.5	0.05	0.8	1.3	B1
900208	1557	15.65	4-52.85	75-19.33	0.49	1.35	9 119	2.5	0.08	0.2	0.2	B1
900208	16 0	23.97	4-53.28	75-18.34	4.43	1.76	6 184	2.3	0.09	1.5	1.8	C1
900208	1930	49.33	4-54.84	75-22.31	8.39	1.14	9 183	1.9	0.07	1.0	0.5	C1
900208	2029	51.42	4-53.22	75-19.62	0.04	0.95	8 164	2.9	0.10	0.5	0.6	B1
900209	111	35.44	4-56.84	75-20.81	7.07		8 266	3.7	0.03	0.4	0.3	C1
900209	355	36.19	4-51.46	75-19.17	0.63	1.08	7 174	2.0	0.09	0.9	1.1	B1
900209	657	36.75	4-52.36	75-19.01	1.30	0.88	7 114	1.6	0.08	0.5	0.5	B1
900210	640	44.17	4-50.49	75-20.87	1.05	0.88	9 169	5.6	0.08	0.4	0.8	B1
900210	1629	42.10	4-51.86	75-19.78	1.32	1.14	9 142	2.9	0.13	0.5	0.8	B1
900210	17 0	50.66	4-52.12	75-18.45	3.53	0.45	7 167	0.4	0.04	0.9	0.5	B1
900211	457	42.89	4-53.10	75-19.67	1.84	0.23	7 177	2.9	0.07	0.8	0.5	B1
900211	1227	55.36	4-51.84	75-19.61	1.59	1.58	8 145	2.5	0.18	1.4	1.9	C1
900212	129	49.57	4-54.99	75-19.08	1.03	1.58	8 236	3.7	0.06	0.5	0.6	C1
900212	738	36.38	4-53.77	75-20.37	0.60	1.58	6 185	1.1	0.07	1.6	1.5	C1
900212	14 6	23.64	4-53.10	75-19.70	0.16	1.58	7 175	2.9	0.11	1.2	0.5	C1
900214	1834	35.05	4-51.97	75-18.34	2.05	1.35	6 171	0.2	0.05	1.0	0.8	C1
900214	2335	2.66	4-54.95	75-19.25	0.94	0.55	8 232	3.4	0.09	0.6	0.6	C1
900215	16 0	24.55	5- 0.68	75-31.04	10.00	1.35	9 329	15.1	0.06	0.9	1.8	C1
900216	2 4	51.59	4-53.03	75-19.48	2.49	0.10	5 181	2.9	0.13	0.2	0.1	C1
900217	2153	23.22	4-54.09	75-19.76	4.11	0.88	8 203	2.1	0.07	2.4	1.1	C1
900218	1820	14.06	4-52.71	75-20.12	0.13	1.35	7 205	3.0	0.15	1.6	1.1	C1
900219	249	8.48	4-52.87	75-19.85	0.51	0.55	6 189	3.0	0.20	2.4	0.8	C1
900219	933	51.89	4-53.67	75-19.84	3.42	0.35	7 191	2.1	0.07	0.6	0.2	C1
900220	14 6	39.09	4-50.47	75-20.25	7.94	0.45	5 288	4.7	0.02	0.8	0.7	C1
900220	2119	11.33	4-52.81	75-17.67	1.93	1.20	9 275	1.8	0.07	1.0	0.4	C1
900222	615	47.41	4-51.49	75-20.48	0.02	0.10	9 147	4.3	0.09	0.5	0.5	B1

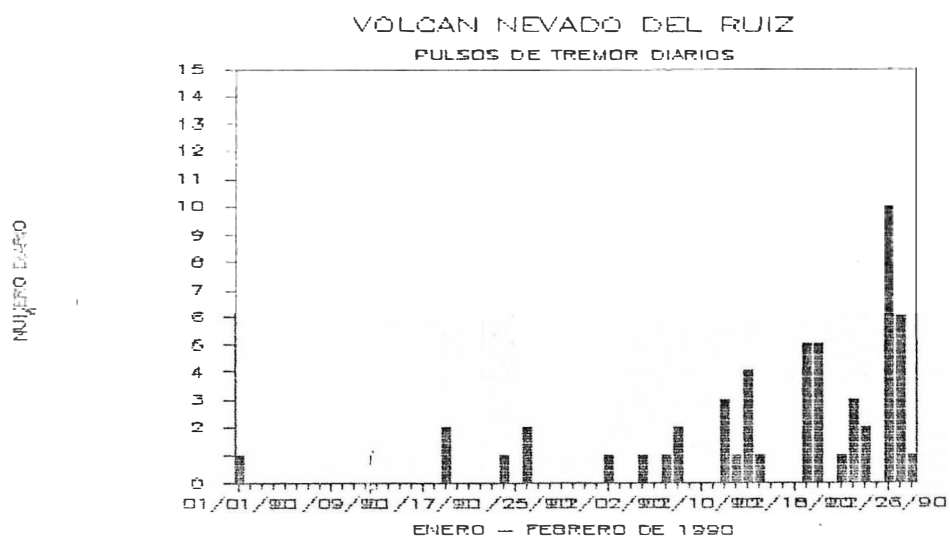
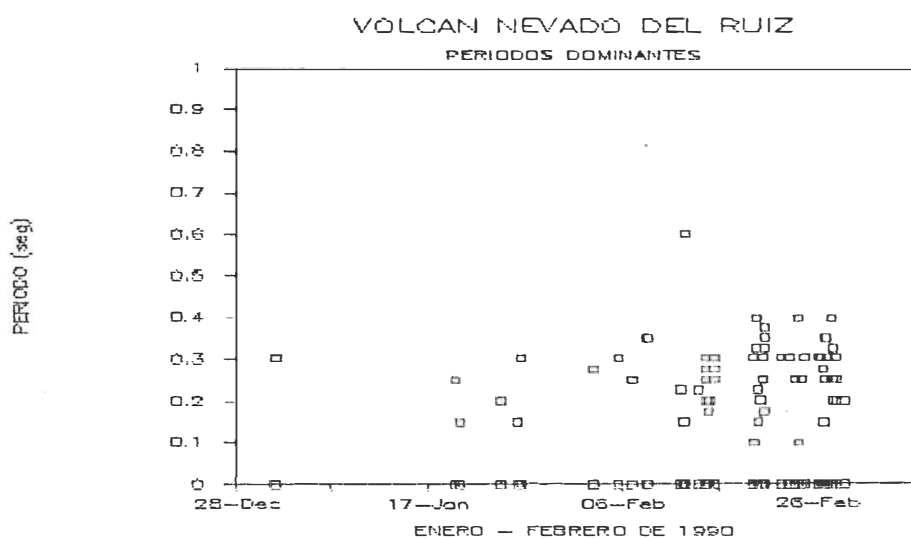
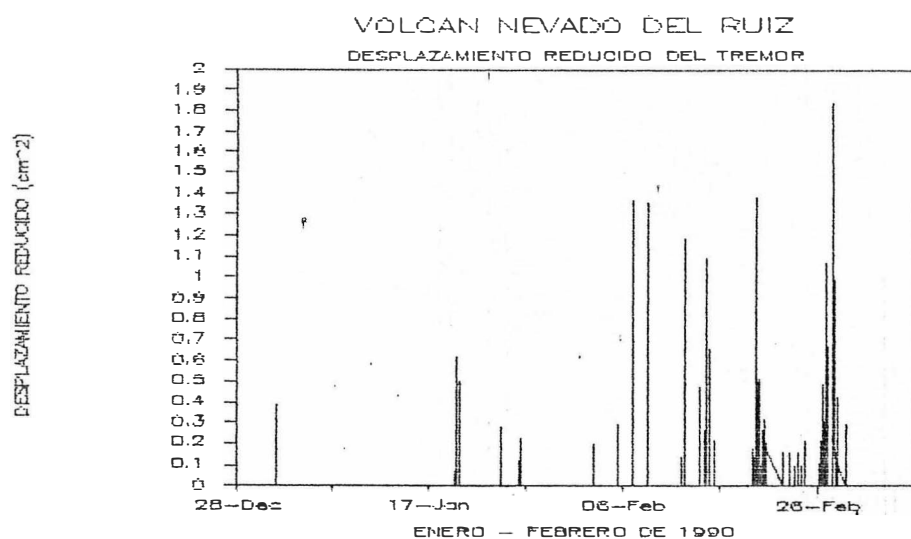


FIG. II.

VOLCAN GALERAS

ACTIVIDAD SISMICA

1. RESUMEN

La sismicidad asociada al volcán Galeras, durante Febrero de 1.990, fué relativamente estable, presentándose coincidencias en el tiempo, con cambios mostrados por los inclinómetros electrónicos los días 2, 5 y 11. Se destaca que entre el 9 y 14 del mes las emisiones de SO₂ medidas con el COSPEC fueron de moderadas a altas, registrándose el día 10 el valor más alto desde el inicio del periodo de vigilancia con 5374 Ton metricas/dia.

Con relación al mes anterior se observó que la energía sismica liberada, tanto por los sismos de alta como de baja frecuencia (incluyendo los eventos de largo periodo), mostró una disminución. El nivel de ocurrencia de los sismos de alta frecuencia aumentó muy levemente, mientras que para los sismos de baja frecuencia y largo periodo decreció de manera notable.

El tremor se caracterizó por la ocurrencia de señales espasmódicas, asociadas con emisiones de cenizas los días 3, 8 y 27; también hubo reportes de emisiones de cenizas los días 6, 7, 9 y 11 sin que se pudieran correlacionar directamente con éstas señales.

Los sismos de alta frecuencia se concentraron en tres focos: en el cráter y al oeste del mismo, con profundidades de 2.0 a 5.5 Km. El día 23 fué sentido un sismo en las partes altas del volcán.

2. NUMERO Y ENERGIA

a. Alta frecuencia

	FEB/90	ENE/90
Numero de eventos:		147
Energía liberada -E ^{0.5} - (Ergios):	1.38E+08	1.50E+08

El número de eventos diarios en el mes de Febrero (Figs. 1 a 3) tuvo su mayor ocurrencia en el periodo comprendido entre el 4 y el 14 del mes, llegando a totalizarse el valor máximo de 17 sismos el día 9. En la última semana del mes, del 23 al 26, nuevamente la ocurrencia de éste tipo de eventos se incrementó llegando a disminuir totalmente el último día de Febrero.

VOLCAN GALERAS - COLOMBIA -

SISMOS DIARIOS ALTA + BAJA

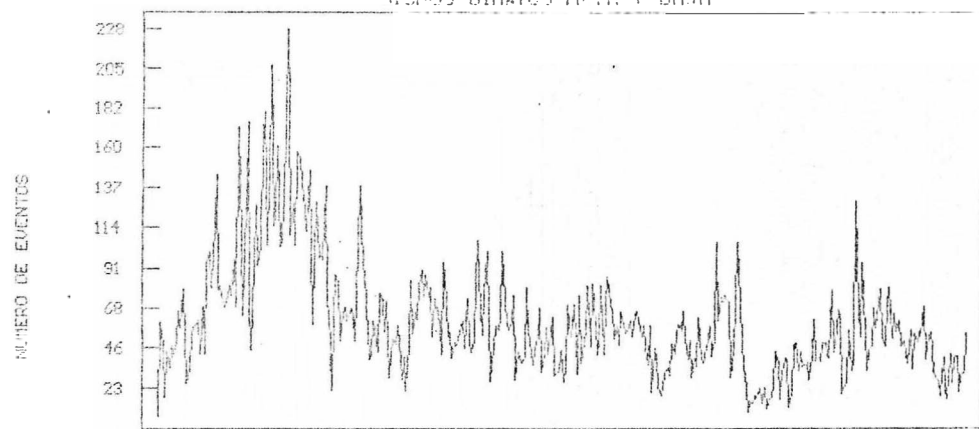


FIG. 1. 89/02/27 89/04/12 89/05/26 89/07/09 89/08/22 89/10/05 89/11/18 90/01/01 90/02/14
FECHA

SISMOS DIARIOS ACOMULADOS ALTA Y BAJA

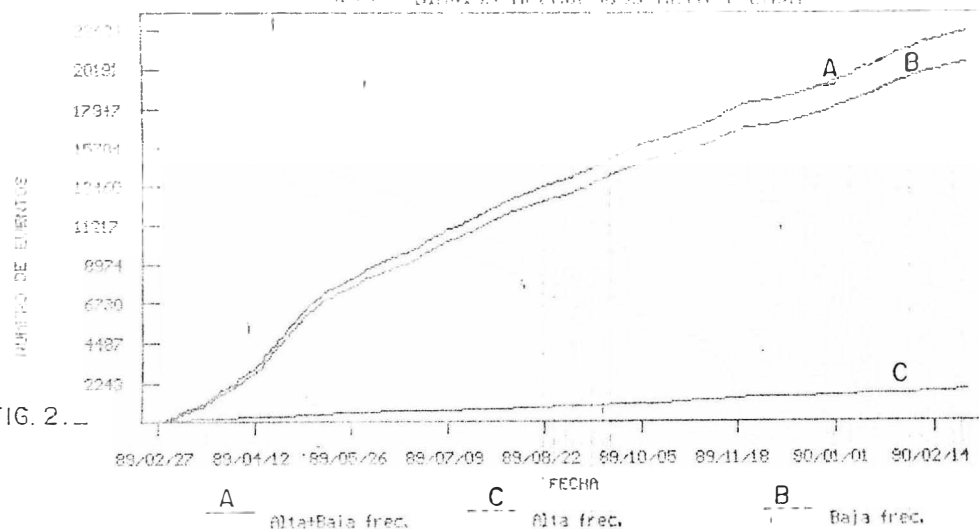


FIG. 2. 89/02/27 89/04/12 89/05/26 89/07/09 89/08/22 89/10/05 89/11/18 90/01/01 90/02/14
FECHA
A - Alta/Baja freq. C - Alta freq. B - Baja freq.

SISMOS DIARIOS DE ALTA Y BAJA - FEB '90 -

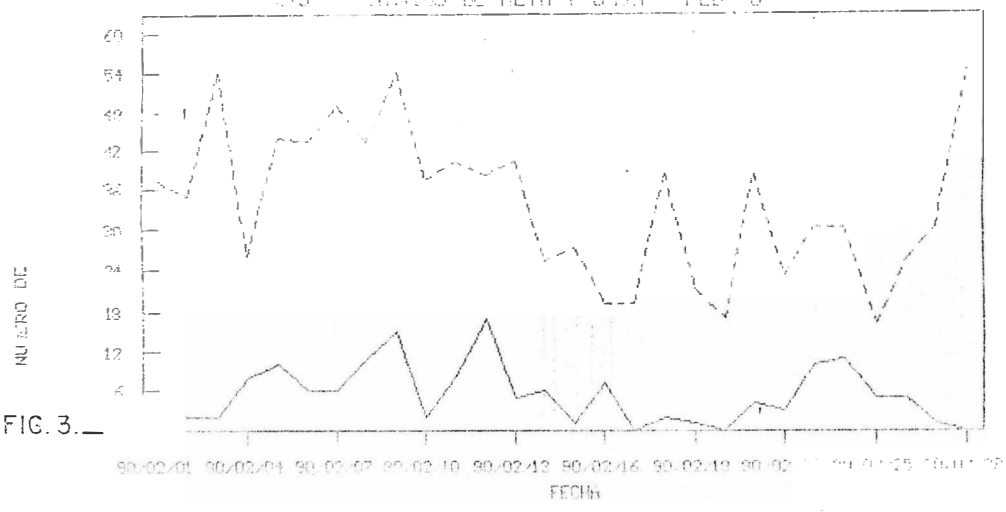
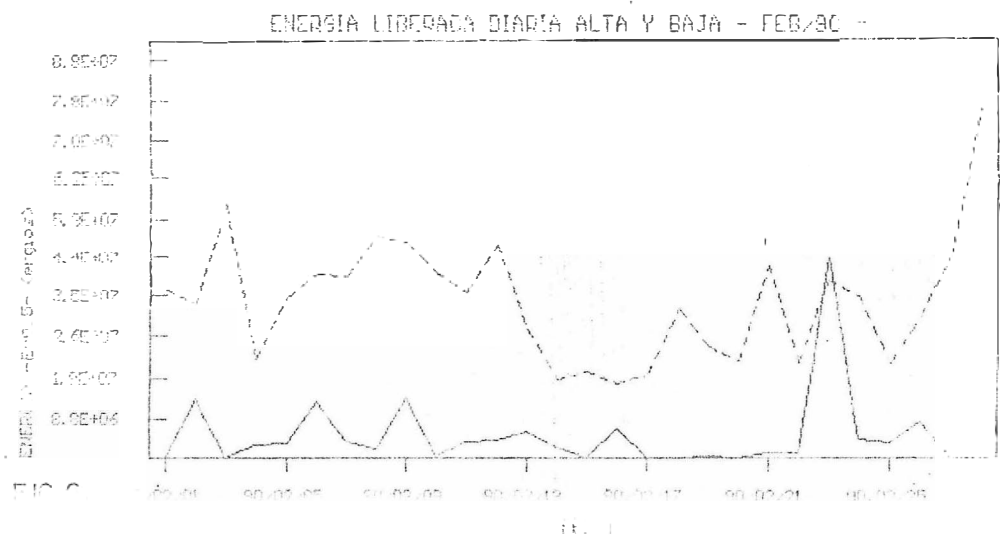
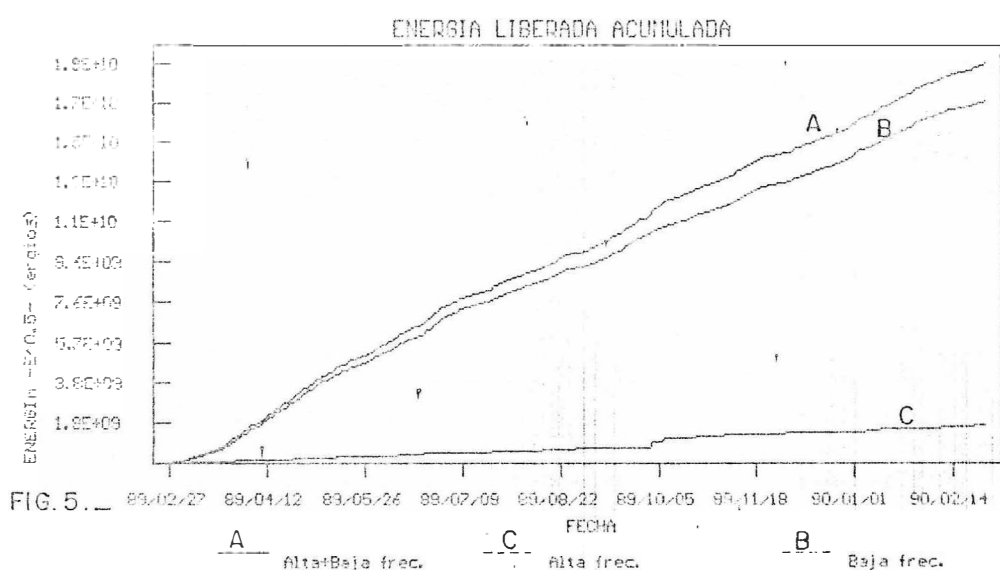
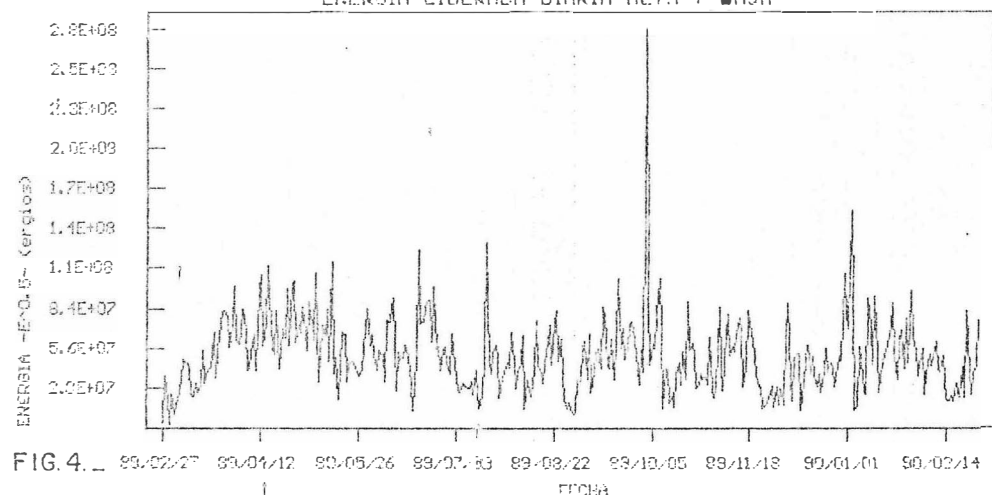


FIG. 3. 90/02/01 90/02/04 90/02/07 90/02/10 90/02/13 90/02/16 90/02/19 90/02/22 90/02/25 90/02/27
FECHA

VOLCAN CALERAS - COLOMBIA
ENERGIA LIBERADA DIARIA ALTA + BAJA



energía sismica liberada diariamente, por estos eventos (Figs. 4 a 6), mostró aumentos notables los días 2, 6, 9 y 23 cuando llegó a su máximo valor.

En el día 23 uno de los sismos registrados mostró la mayor duración (77 seg.), con un valor relativo de magnitud de 2.51, que fué sentido en las partes altas del volcán. En este día las emisiones de SO₂, de acuerdo al COSPEC, llegaron a ser moderadas con 2022 Ton métricas/dia.

El 2 de febrero hacia las 16:00 horas se observó un pico en las dos componentes del inclinómetro electrónico de Peñaditos; a las 17:15 se registró un sismo de fractura de una duración de 52 seg. de acuerdo con la estación base CRA2.

b. Baja frecuencia

	FEB/90	ENE/90
Número de eventos:	605	1111
Energía liberada -E ^{0.5} - (Ergios):	5.10E+08	

El número de eventos diarios de baja frecuencia (Fig. 3) tuvo la mayor ocurrencia en la primera mitad del mes, mostrando los mayores valores en los días 6, 7, 8 y 9 en los cuales también hubo emisiones de cenizas. El día con mayor número de eventos fué el 9 con 42, mientras el día 15 solo se registraron 9 eventos.

La energía sismica liberada diariamente (Fig. 6) incrementó notoriamente desde el día 5 hasta el 13 del mes.

c. Largo Período

	FEB/90	ENE/90
Número de eventos:	348	494
Energía liberada -E ^{0.5} - (Ergios):	4.60E+08	

El promedio de ocurrencia de sismos de largo periodo por día fué de 12, llegando a 28 como máximo el día 3 que tuvo emisión de cenizas y a 25 el día 28; el número mínimo de éstos eventos fué el 16 de Febrero con 7. En la primera mitad del mes se observa una tendencia estable en la ocurrencia de eventos (Fig. 7).

La energía sismica liberada mostró incrementos importantes los días 3, 21, 23 y 28, sin observarse una tendencia definida.

se registró el evento de mayor duración en el

VOLCAN GALERAS - COLOMBIA

NUMERO DE EVENTOS DIARIOS LARGO PERIODO

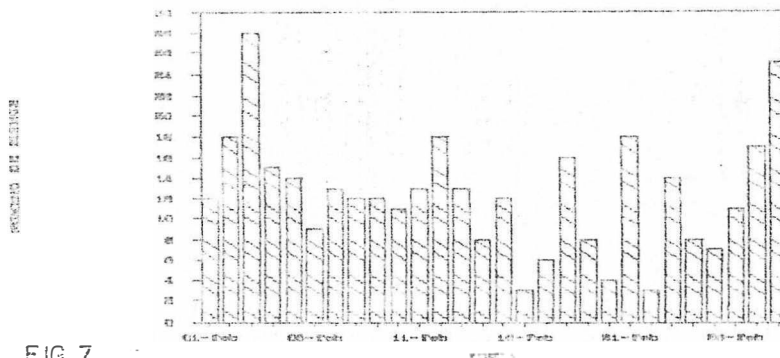


FIG. 7.

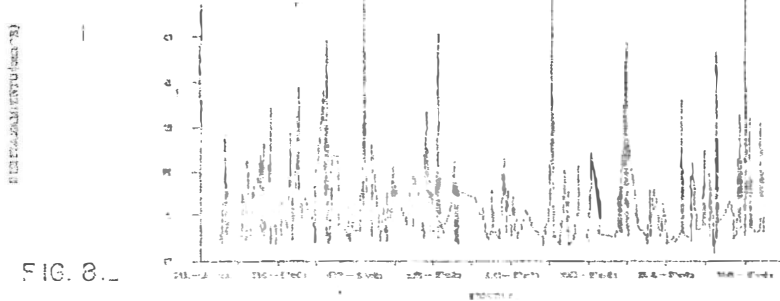


FIG. 8.

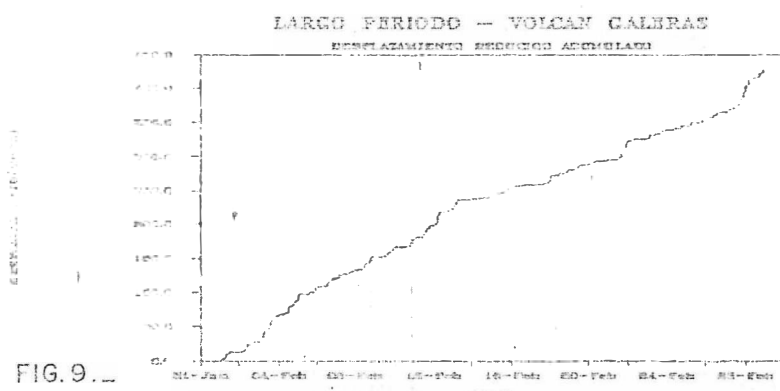


FIG. 9.

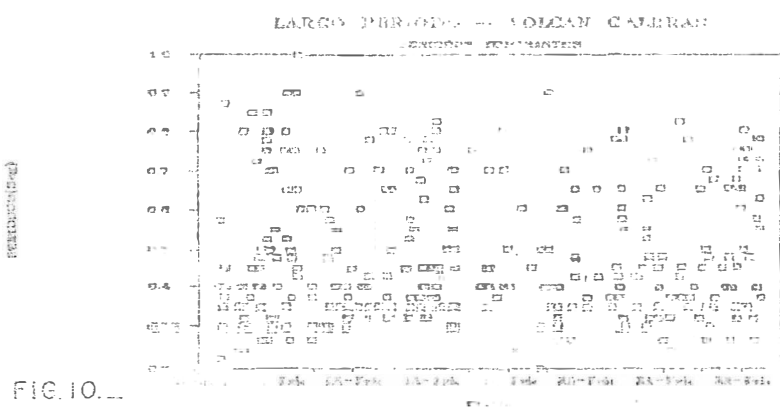


FIG. 10.

mes con 61 seg. en el registro de la estación de base CRA2. Este día la energía liberada llegó a su máximo valor en el mes.

En la Figura 8 se muestra el desplazamiento reducido para las ondas Rayleigh, mientras que en la Figura 9 se muestra el desplazamiento reducido acumulado.

El rango de periodos para éste tipo de eventos (Fig. 10) estuvo entre 0.3 y 0.65 seg. (frecuencias entre 3.3 y 1.5 Hz. respectivamente) registrándose períodos mínimos de 0.20 seg y máximos de 0.9 seg.

El día 8 se produjo un evento de largo a las 9:11, sintiéndose una explosión en la cima del volcán y minutos después hubo una pequeña emisión de cenizas.

El 17 de febrero a la 1:14 se registró un sismo de largo periodo con muy baja frecuencia (1.0 Hz.). A partir de éste día los inclinómetros comenzaron a mostrar variaciones sustanciales que aún no se han podido asociar totalmente con la actividad volcánica.

d. Tremor

1) Espasmodico

	FEB/90	ENE/90
Número de pulsos:	433	478
Desp. Reducido Acum. O Rayleigh (cm ²)	4.43E+02	5.58E+02

Este mes el promedio de pulsos asignados por día fue de 15, totalizando un número máximo de 21 el día 27. La ocurrencia de estas señales (Fig. 11) muestra una tendencia estable a lo largo del mes, con un leve incremento a partir del día 10.

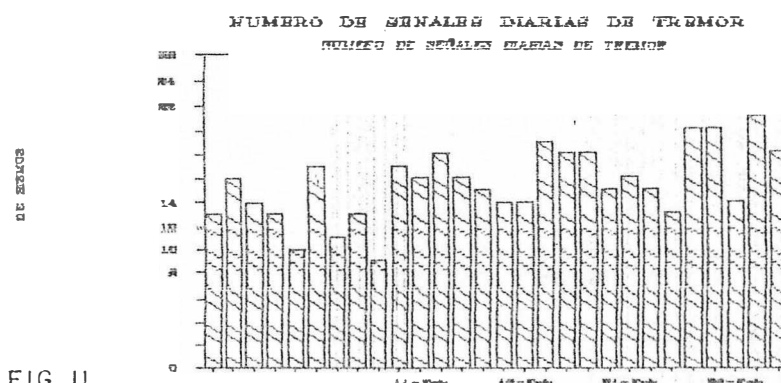


FIG. 11.

VOLCAN GALERAS -COLOMBIA

TRÉMOR ESPASMODICO - VOLCAN GALERAS

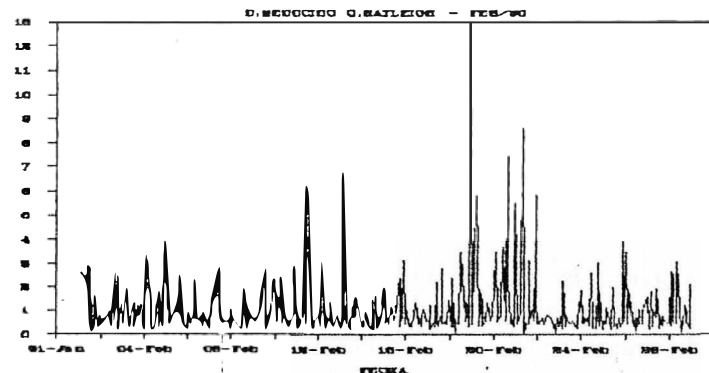


FIG. 12.

TRÉMOR ESPASMODICO - VOLCAN GALERAS

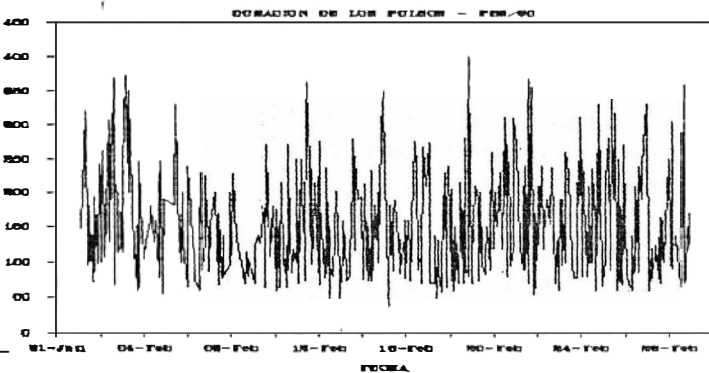


FIG. 13.

TRÉMOR ESPASMODICO - VOLCAN GALERAS

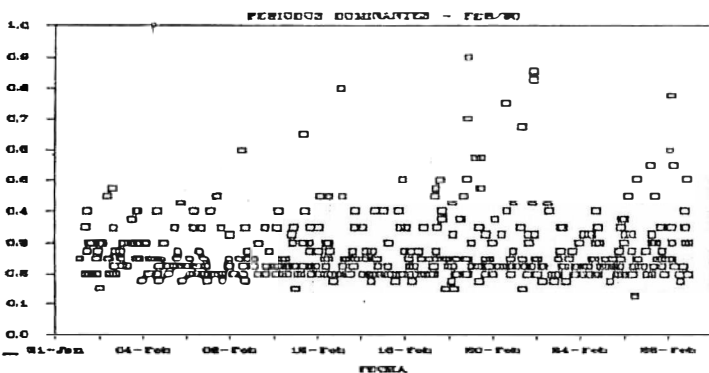


FIG. 14.

TRÉMOR ESPASMODICO - VOLCAN GALERAS

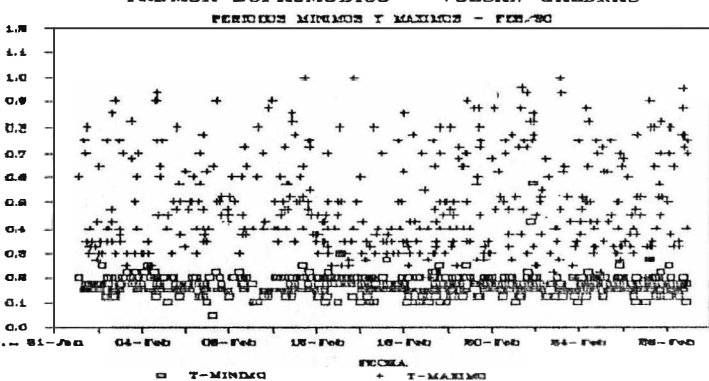


FIG. 15.

Los desplazamientos reducidos para las ondas Rayleigh (Fig. 12) presentaron un valor máximo el 18 de Febrero a las 20:58 de 12.8 cm². Se destaca el registro de éste tipo de señales con duraciones dominantes entre 100 y 250 seg. (Fig. 13), siendo la máxima duración de 400 seg. el día 18. Los periodos dominantes (Figs. 14 y 15)) estuvieron entre 0.20 y 0.35 seg. (5.0 y 2.85 Hz respectivamente) registrando períodos mínimos de 0.15 seg. (6.67 Hz) y máximos de 1.0 seg (1.0 Hz.).

A las 11:29 del día 3 se registró una señal de tremor asociada a emisión de cenizas, al igual que los días 7 a las 11:45, 8 a las 9:11 y 27 a las 19:22 horas.

El día 5 a las 18:00 horas se observa un pico en el inclinómetro electrónico de Peladitos; a las 18:03 ocurre un pulso de tremor con duración de 200 seg. De igual manera, ocurrió el día 11 cuando a las 14:00 se noto otro pico en el inclinómetro electrónico de Peladitos y alrededor de las 15:00 se presentó una señal de tremor espasmódico de duración y tamaño relativamente considerables; éste día la Estación Militar Galeras desde la cima del volcán reportó caída de ceniza hacia las 12:30.

El 18 de febrero el tremor espasmódico comienza a mostrar variaciones sustanciales en el incremento de la amplitud y disminución de la frecuencia.

2) Tremor de fondo

No se presentaron variaciones representativas. En febrero ésta señal presentó períodos dominantes entre 0.2 y 0.5 seg. (5.0 y 2.0 Hz respectivamente). El desplazamiento reducido para las Ondas Rayleigh fué inferior a 0.38 cm².

3. LOCALIZACION DE SISMOS

En febrero se localizaron hipocentralmente alrededor de 94 sismos (Fig. 16 y Tabla 1) de los cuales, la mayoría de ellos se concentran en tres focos generadores: uno a 2.5 Km al W del cráter principal con profundidades entre 2.5 y 5.0 Km, otro a 2.3 Km a W-SW del cráter mismo con profundidades entre 2.0 y 3.5 Km, y un tercero bajo el cráter principal entre 2.0 y 5.5 Km. Otros sismos tipo A, se localizaron hipocentralmente de manera dispersa al SE del crater entre 2.0 y 5.5 Km de profundidad.

De acuerdo con algunas atenuaciones, los eventos de largo

VOLCAN GALERAS - COLOMBIA

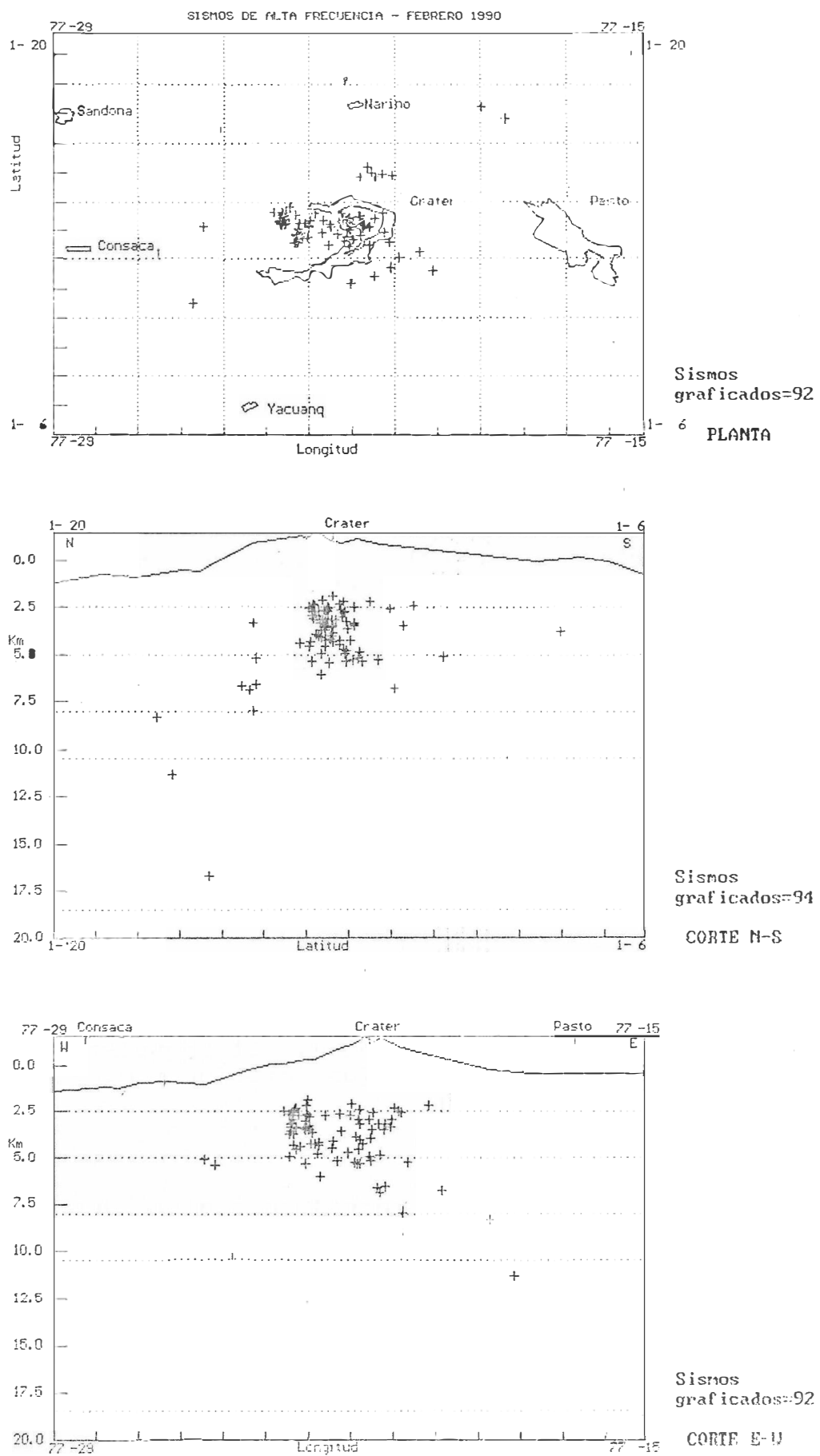


FIG. 16.

CONTINUACION TABLA I.

DATE	ORIGIN	LAT N	LONG W	DEPTH	MAG	NO	GAP	RMS	ERH	FRZ	QM
900211	0756 41.70	1-13.39	77-23.34	3.35	1.24	9	123	0.06	0.2	0.4	B1
900211	1514 30.44	1-15.23	77-21.45	6.63	1.80	9	176	0.04	0.2	0.3	B1
900211	2138 32.50	1-14.88	77-21.60	5.18	1.51	9	153	0.07	0.3	0.4	B1
900212	1141 36.50	1-13.58	77-22.66	2.76	1.37	8	121	0.09	0.5	0.7	B1
900212	1447 53.45	1-13.19	77-23.36	2.52	1.34	10	140	0.09	0.2	0.7	B1
900212	1946 21.68	1-10.47	77-25.50	5.13	1.90	7	253	0.12	0.9	1.6	C1
900213	1614 20.46	1-13.41	77-21.89	2.93	1.86	8	98	0.07	0.3	0.7	B1
900213	2020 03.96	1-13.00	77-21.86	3.15	1.58	9	109	0.10	0.4	0.5	B1
900214	0421 28.83	1-15.04	77-21.37	6.90	1.49	10	174	0.06	0.3	0.3	B1
900214	0521 28.45	1-13.07	77-23.06	1.87	1.78	8	141	0.09	0.3	1.0	B1
900214	1356 16.80	1-12.75	77-22.84	4.77	1.32	9	148	0.07	0.3	0.4	B1
900214	1409 43.63	1-12.72	77-22.96	3.64	1.12	10	151	0.09	0.3	0.5	B1
900214	1738 51.70	1-12.20	77-20.21	2.16	1.12	6	218	0.02	0.1	0.2	C1
900214	2243 52.76	1-13.13	77-22.81	4.16	1.26	10	136	0.11	0.4	0.6	B1
900216	0229 39.80	1-13.16	77-21.52	2.57	1.55	9	87	0.04	0.1	0.2	A1
900216	2020 2.68	1-13.26	77-22.92	4.24	1.08	8	143	0.09	0.4	0.8	B1
900216	2330 56.84	1-13.23	77-23.03	3.47	2.37	10	135	0.08	0.3	0.5	B1
900216	2350 24.90	1-12.92	77-22.51	4.52	1.25	8	153	0.17	1.0	1.3	C1
900216	2357 35.50	1-13.34	77-22.77	5.93	1.25	8	136	0.19	1.0	1.3	C1
900218	1719 19.00	1-13.09	77-21.40	3.20	1.11	7	145	0.08	0.5	0.5	B1
900219	2235 32.62	1-13.39	77-21.26	3.16	1.35	10	94	0.11	0.4	0.5	B1
900221	1015 40.66	1-13.16	77-25.26	5.38	1.56	8	150	0.02	0.1	0.2	B1
900221	1256 37.38	1-13.35	77-22.48	4.11	1.50	7	230	0.05	0.4	0.3	C1
900221	1312 32.49	1-13.09	77-22.28	3.57	1.28	7	226	0.08	0.6	0.6	C1
900223	1124 42.38	1-13.25	77-23.46	3.15	2.02	10	139	0.07	0.2	0.5	B1
900223	1141 42.10	1-13.26	77-23.42	3.70	1.37	10	139	0.08	0.2	0.5	B1
900223	1425 04.82	1-13.30	77-23.49	2.64	0.53	10	138	0.06	0.2	0.6	B1
900223	1425 13.76	1-13.30	77-23.46	3.31	1.31	10	138	0.05	0.2	0.4	B1
900223	1426 09.00	1-13.30	77-23.46	3.60	1.83	10	138	0.06	0.2	0.4	B1
900223	1430 57.94	1-13.56	77-23.11	5.34	2.20	8	249	0.09	0.8	0.7	C1
900223	2214 38.43	1-14.89	77-21.26	6.55	2.89	8	175	0.11	0.9	0.7	B1
900223	2355 19.51	1-13.20	77-23.48	3.15	1.51	10	141	0.11	0.3	0.8	B1
900224	0147 32.51	1-16.86	77-18.22	11.35	1.92	10	305	0.13	1.4	1.1	C1
900224	0320 08.15	1-13.32	77-23.48	3.21	1.45	10	137	0.06	0.2	0.5	B1
900224	0920 13.41	1-13.40	77-23.28	2.71	1.41	10	133	0.07	0.2	0.6	B1
900224	1113 41.57	1-13.18	77-23.45	2.71	1.61	10	141	0.10	0.3	0.8	B1
900224	1448 23.12	1-13.24	77-23.45	3.10	1.33	10	139	0.06	0.2	0.5	B1
900224	1651 28.22	1-13.31	77-23.46	3.35	1.35	10	137	0.07	0.2	0.5	B1
900224	1758 51.75	1-17.24	77-18.77	8.32	1.61	9	307	0.15	1.9	2.5	C1
900225	527 19.67	1-11.73	77-20.88	2.57	1.77	8	149	0.12	0.6	0.5	B1
900225	1329 51.91	1-14.94	77-20.86	7.92	1.57	10	202	0.10	0.8	0.3	C1
900226	211 5.32	1-13.09	77-21.85	4.04	2.35	6	105	0.03	0.3	0.5	B1
900226	311 29.73	1-13.34	77-23.49	3.70	1.38	9	137	0.07	0.2	0.4	B1
900227	015 28.60	1-11.41	77-21.27	3.51	1.22	6	238	0.12	1.4	1.0	C1
900227	1121 21.42	1-11.16	77-21.83	2.42	1.06	4	332	0.03			C1
900227	1653 52.97	1-14.95	77-21.12	3.30	1.27	8	272	0.17	1.4	1.6	C1

TABLA II. RESULTADOS DE LAS LOCALIZACIONES HIPOCENTRALES DE LOS SISMOS DE ALTA FRECUENCIA VOLCAN GALERAS - COLOMBIA. FEBRERO 1990

DATE	ORIGIN	LAT N	LONG W	DEPTH	MAG	NO GAP	RMS	ERH	ERZ	QM
900201	0235 03.09	1-13.33	77-22.02	2.14	1.04	6 203	0.02	0.1	0.2	C1
900201	0235 55.90	1-13.21	77-22.32	2.65	1.13	8 129	0.08	0.3	0.6	B1
900202	0024 23.74	1-13.57	77-21.08	2.95	1.13	6 187	0.05	0.6	0.5	C1
900202	1711 45.42	1-11.61	77-19.91	6.77	2.53	7 293	0.02	0.2	0.1	C1
900204	0501 18.22	1-12.57	77-23.13	3.51	1.21	8 182	0.08	0.4	0.6	C1
900204	1213 47.72	1-13.58	77-22.05	2.71	1.38	8 102	0.07	0.3	0.6	B1
900204	1309 50.32	1-12.83	77-23.09	2.16	1.61	8 168	0.09	0.5	1.0	B1
900204	1424 17.16	1-12.81	77-23.02	2.78	1.60	8 168	0.08	0.4	0.8	B1
900204	1534 09.08	1-12.57	77-23.05	3.47	1.43	8 182	0.09	0.5	0.7	C1
900204	1732 26.01	1-12.75	77-23.04	3.27	1.22	8 172	0.08	0.4	0.6	B1
900204	1734 27.53	1-12.57	77-23.10	3.36	1.31	8 182	0.09	0.4	0.7	C1
900204	2025 14.04	1-13.48	77-21.60	3.99	0.93	6 168	0.02	0.2	0.2	B1
900205	0054 29.36	1-13.05	77-21.93	3.91	1.47	8 113	0.10	0.5	0.6	B1
900205	0250 28.86	1-12.76	77-21.91	5.37	1.13	8 133	0.10	0.6	0.6	B1
900205	0251 17.80	1-12.83	77-22.13	4.74	1.49	8 143	0.08	0.5	0.6	B1
900205	1043 52.52	1-12.39	77-21.85	5.34	1.48	8 210	0.09	0.6	0.6	C1
900205	1132 13.51	1-12.00	77-20.71	5.28	1.19	4 282	0.03			C1
900205	1445 47.80	1-12.84	77-23.12	3.02	1.17	8 168	0.09	0.4	0.8	B1
900205	1722 30.51	1-12.60	77-21.97	5.23	1.14	8 161	0.07	0.4	0.4	B1
900205	2011 55.99	1-12.79	77-21.62	4.97	1.15	6 166	0.06	0.6	0.5	B1
900205	2253 27.35	1-12.57	77-23.15	3.41	1.39	8 182	0.07	0.3	0.6	C1
900206	0108 47.67	1-13.64	77-23.62	2.47	1.69	8 137	0.05	0.2	0.7	B1
900206	0738 00.41	1-13.08	77-22.81	4.37	1.39	8 151	0.09	0.5	0.7	B1
900206	0747 09.06	1-12.92	77-22.99	4.28	2.57	8 162	0.10	0.5	0.8	B1
900206	2108 56.56	1-12.47	77-22.36	5.16	1.27	8 186	0.18	1.0	1.1	C1
900207	0533 07.03	1-12.44	77-21.39	4.87	1.82	8 232	0.11	0.7	0.6	C1
900207	1156 15.30	1-13.47	77-21.63	2.96	1.29	6 170	0.06	0.4	0.6	B1
900207	2021 55.91	1-13.07	77-21.55	3.48	1.17	6 161	0.06	0.5	0.5	B1
900207	2358 05.16	1-12.57	77-20.93	2.49	0.13	4 231	0.01			C1
900207	2358 19.41	1-12.90	77-21.04	2.33	1.19	6 188	0.04	0.3	0.3	C1
900208	0630 30.08	1-12.67	77-21.77	4.24	1.43	8 121	0.10	0.6	0.6	B1
900208	1051 48.93	1- 7.72	77- 9.38	3.77	1.85	5 343	0.02	1.1	0.3	C1
900208	1501 35.38	1-12.78	77-23.10	2.71	1.15	8 170	0.06	0.3	0.5	B1
900208	1710 40.03	1-12.87	77-23.09	2.67	1.26	8 166	0.09	0.4	0.9	B1
900208	1921 51.25	1-13.42	77-21.85	4.02	1.39	8 96	0.08	0.4	0.6	B1
900208	2318 53.91	1-13.56	77-23.40	2.92	1.37	8 138	0.04	0.2	0.4	B1
900208	2319 07.55	1-13.54	77-23.34	2.34	0.94	8 138	0.06	0.2	0.8	B1
900209	0217 05.43	1-13.61	77-23.40	4.35	1.89	8 136	0.10	0.4	1.0	B1
900209	0221 12.25	1-13.64	77-23.33	4.55	1.73	8 134	0.11	0.5	0.9	B1
900209	0226 04.63	1-13.55	77-23.43	3.12	1.52	8 139	0.04	0.2	0.4	B1
900209	0229 26.01	1-13.51	77-23.36	2.44	1.91	8 139	0.06	0.2	0.8	B1
900209	1053 19.01	1-13.62	77-23.42	2.60	1.52	8 131	0.06	0.3	0.8	B1
900209	1600 41.06	1-13.35	77-23.51	4.98	1.29	8 125	0.10	0.5	0.8	B1
900209	1920 02.05	1-13.26	77-23.35	3.39	1.38	8 120	0.12	0.7	1.2	B1
900209	2023 .2.16	1-13.25	77-21.88	4.59	1.51	8 102	0.09	0.4	0.6	B1
900210	1107 0.28	1-13.85	77-23.26	4.42	1.29	8 133	0.08	0.4	0.7	B1
900210	2328 36.86	1-15.97	77-14.99	16.67	1.6	8 331	0.10	1.8	1.2	C1
900211	0350 01.61	1-12.51	77-23.40	2.99	1.59	8 140	0.04	0.2	0.4	B1

periodo parecen ser superficiales. Un sismo de largo periodo ocurrió el dia 13 a las 01:36 horas, el cual a su inicio es impulsivo y con alta frecuencia; éste se ubico en el costado SW del cono volcánico a menos de 2.5 Km de profundidad.

GRUPO DE SISMOLOGIA VOLCAN GALERAS

Adriana Agudelo R.
Betty Silva P.
Monica Arcila R.
Jaime Romero L.
Diego Gómez M.
Roberto Torres C.

COLABORADORES

Elizabeth Betancourt V.
Liliana Peláez J.

D E F O R M A C I O N

VOLCAN NEVADO DEL RUIZ

RESUMEN

Las medidas de deformación realizadas en el campo no registraron cambios significativos en el transcurso del mes. Con respecto a los datos recibidos telemétricamente de los equipos de inclinometría electrónica, estos se interrumpieron por problemas de índole electrónica. Este mes se dió reinicio a los estudios de Glaciología.

1. INCLINOMETRIA SECA

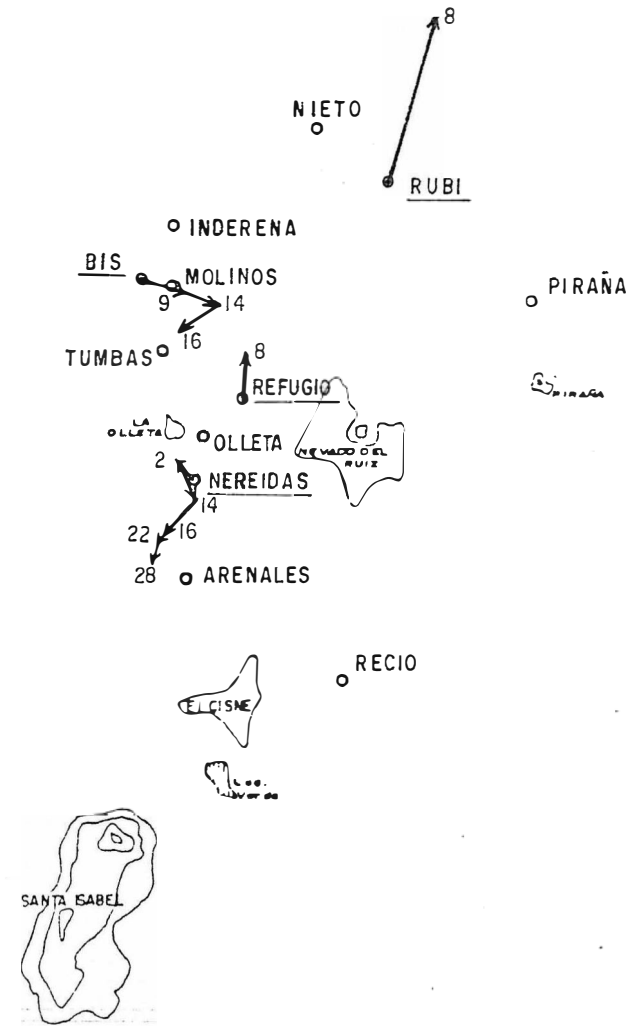
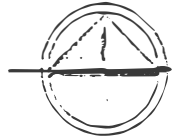
Fueron realizadas 17 mediciones en 8 estaciones de campo, encontrándose en ellas cambios bajos respecto a las medidas anteriores, que permiten apreciar en términos generales unas condiciones de estabilidad. Sin embargo, a pesar de ser unos valores pequeños llama la atención el comportamiento oscilante de la componente Norte de la estación Tumbas,¹ que contrasta notablemente con la otra componente.

En las figuras 1 y 2 se observan en las diferentes estaciones las tendencia y magnitud de los vectores resultantes. En las figuras 3 y 4 se muestran los valores acumulados en las componentes Norte y Este de las estaciones ocupadas.

2. INCLINOMETRIA ELECTRONICA.

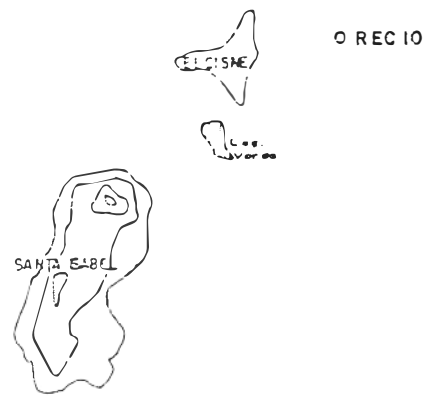
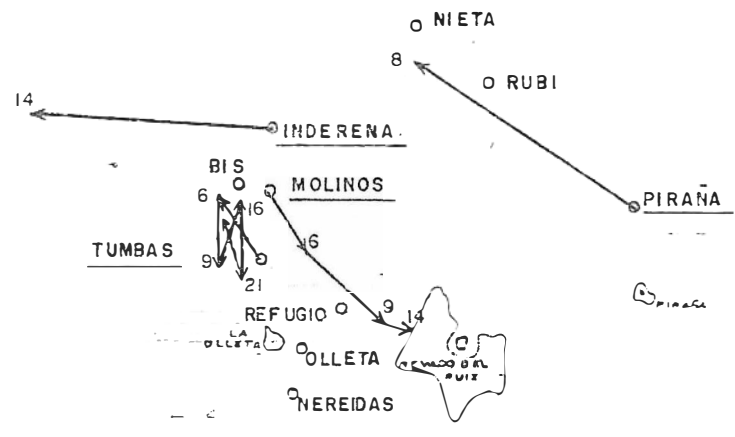
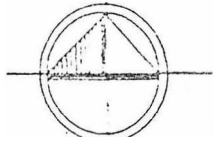
Problemas relacionados con transmisión de señales provenientes de los inclinómetros fueron la causa de la interrupción de la recepción de los datos a partir de Febrero 18 a las 18:00 horas. Figura 5.

Los datos recibidos hasta esa fecha indican para la estación de Recio en su única componente (Radial) una visible estabilidad. En cuanto a la estación Refugio, su componente Norte muestra un pequeño salto al igual que el cambio presentado en la componente Este aparentemente correlacionable con tremor de fondo observado en las estaciones sismológicas de Refugio y Tolda Fria.



0 5 10 15 MICRORADIANES
ESCALA GRAFICA

INGEOMINAS	
OBSERVATORIO VULCANOLOGICO DE COLOMBIA	
INCLINOMETRIA SECA	
VECTOR INFLACION	
Autor: Grupo de Deformación	Dibujo Claro Ines Restrepo V
2 1 0 1 2 Km	FEB /90 FIG. 1de



0 5 10 15 MICRORADIANES
ESC. GRAFICA

INGEOMINAS
OBSERVATORIO VULCANOLÓGICO DE COLOMBIA
INCLINOMETRIA SECA
VECTOR INFLACION

Autor: Grupo de Deformación	Dibujo: Claro Ines Restrepo V
2 1 3 1 2 cm	FEB / 90 Fig. 2 de

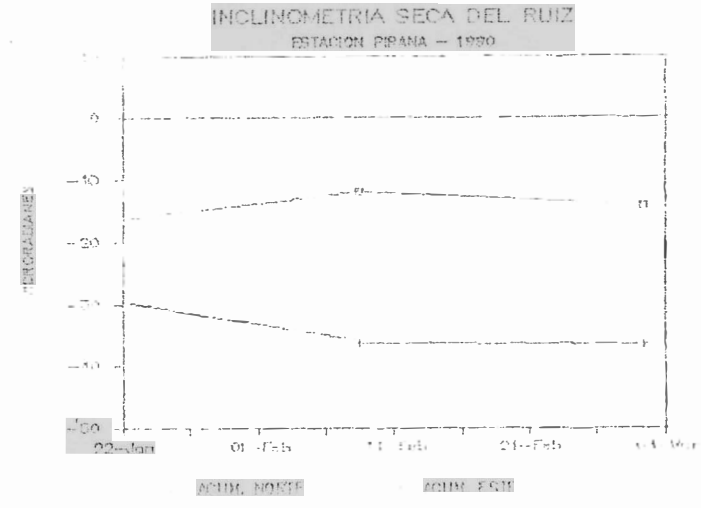
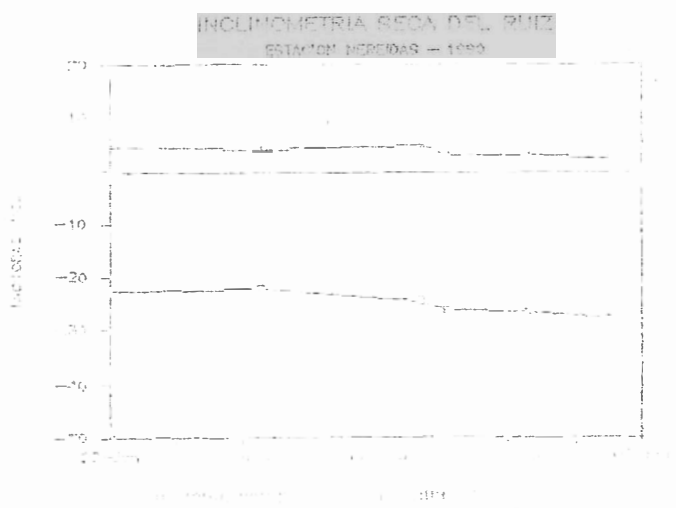
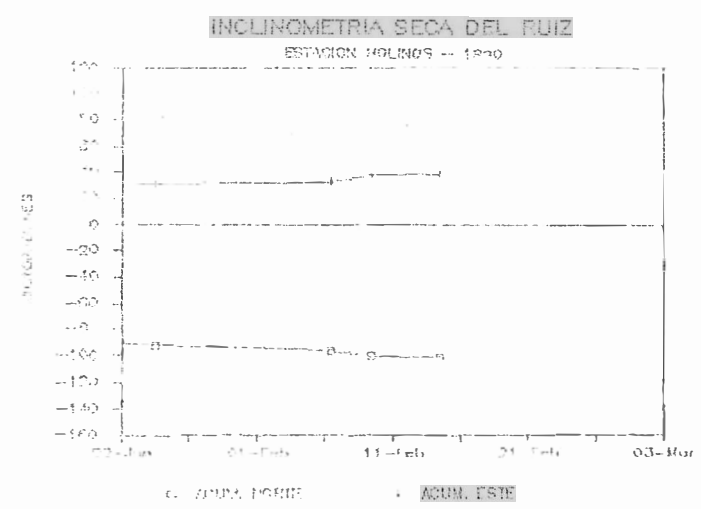
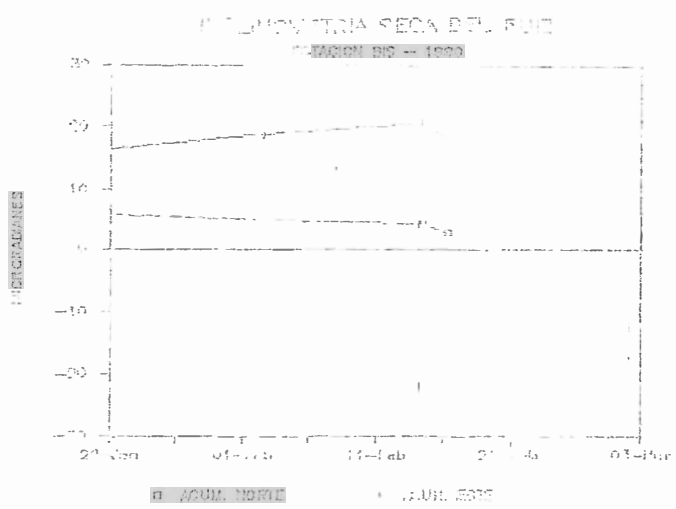


FIG. 3

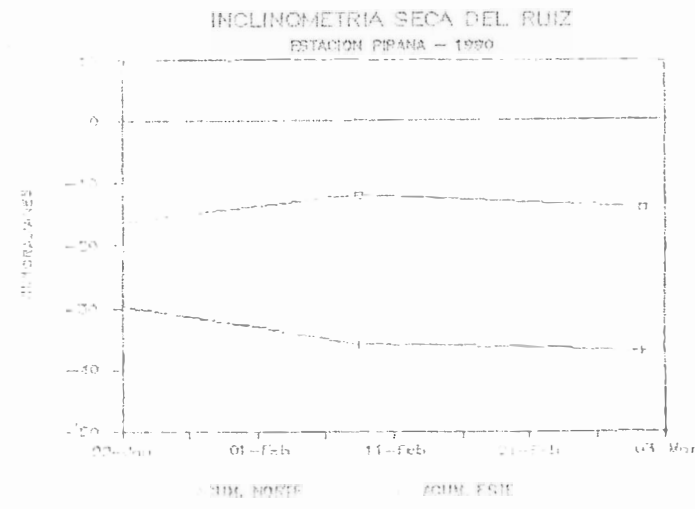
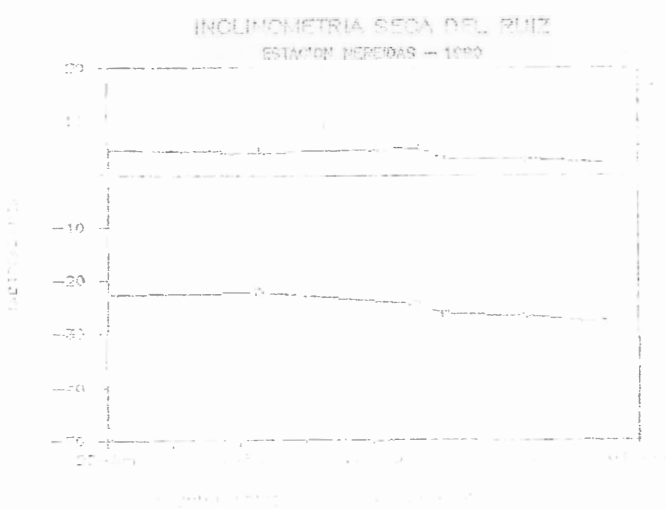
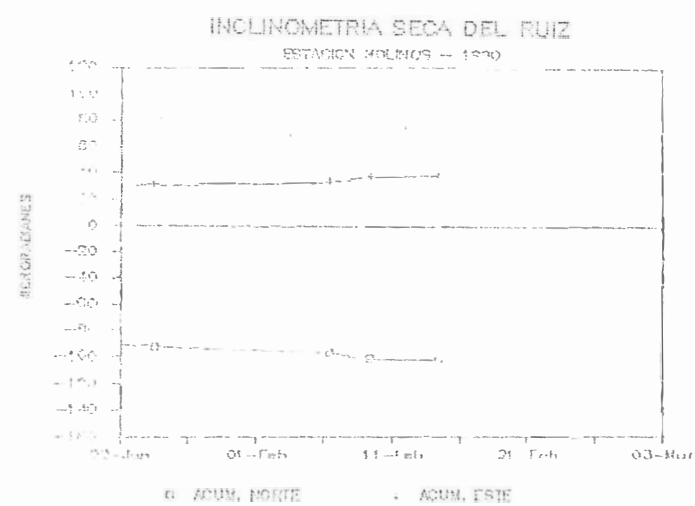
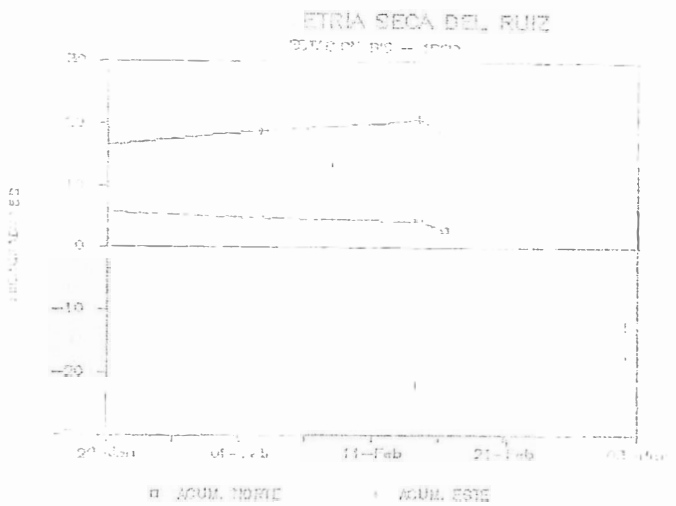


FIG. 3

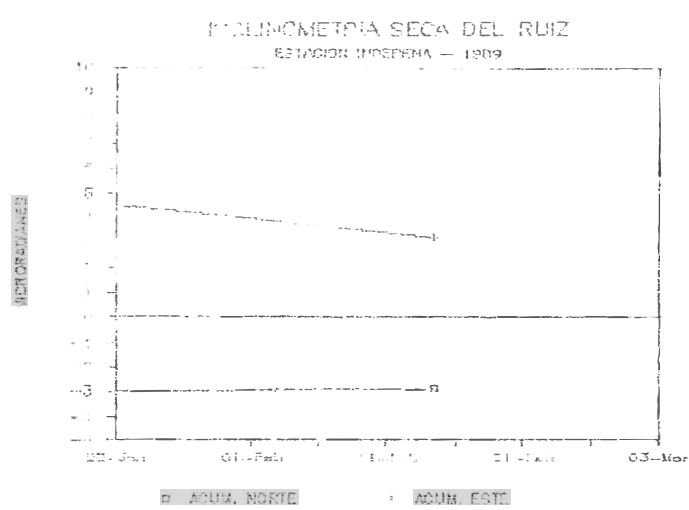
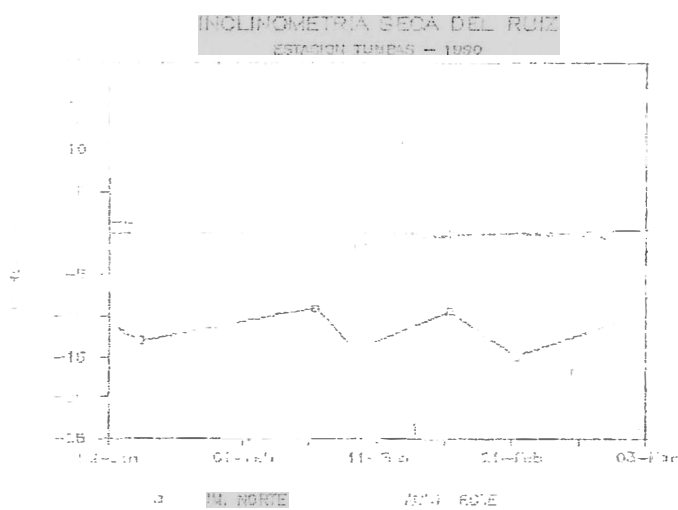
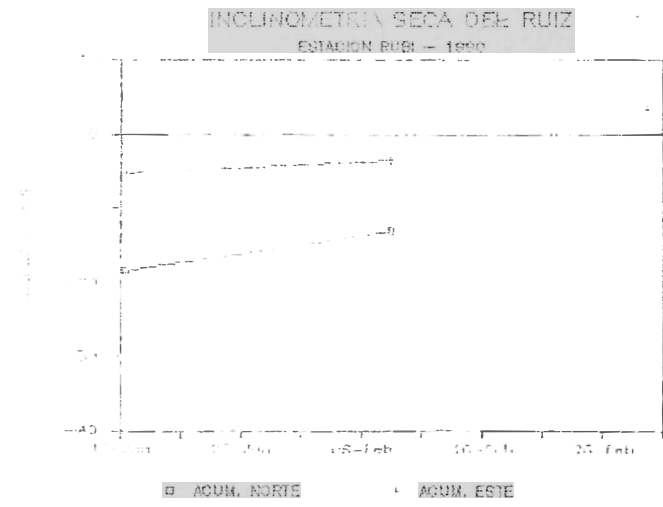
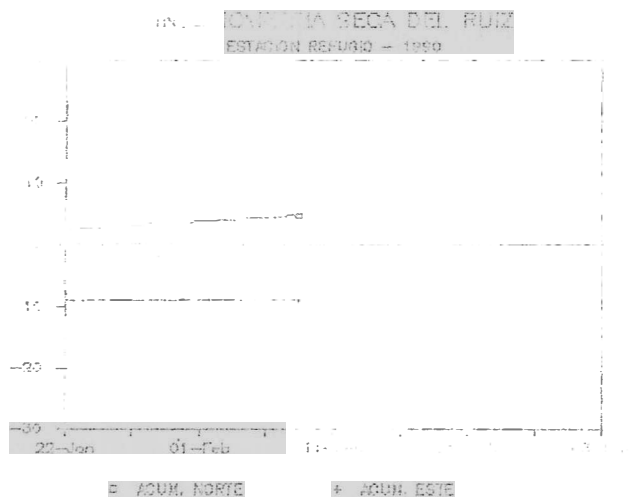
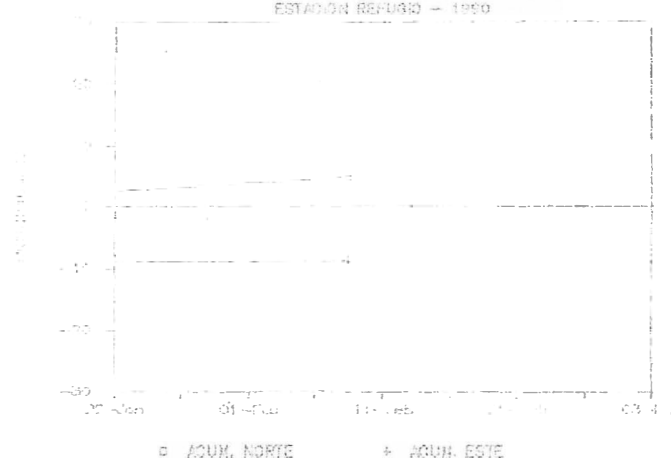
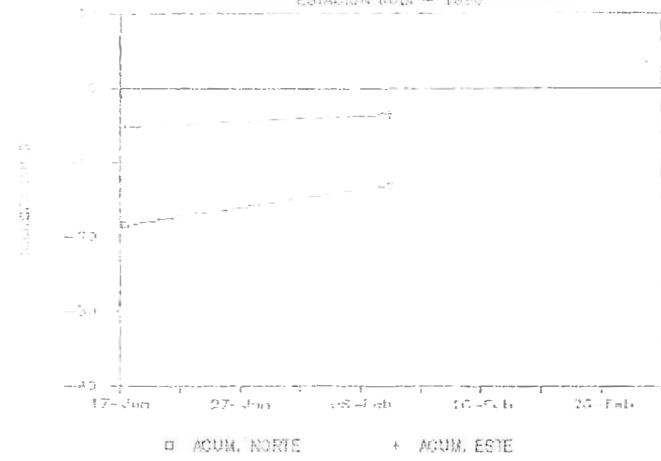


FIG. 4

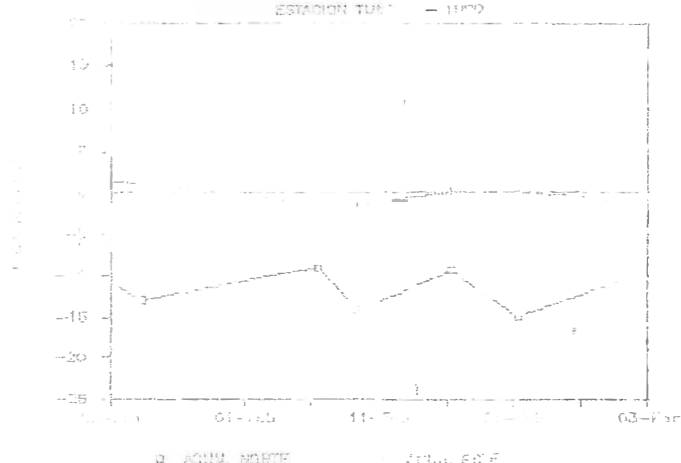
INCLINOMETRIA SECA DEL RUIZ
ESTACION BURGOS - 1990



INCLINOMETRIA SECA DEL RUIZ
ESTACION BURGOS - 1990



INCLINOMETRIA SECA DEL RUIZ
ESTACION TUNI - 1992



INCLINOMETRIA SECA DEL RUIZ
ESTACION INDEPENDENCIA - 1992

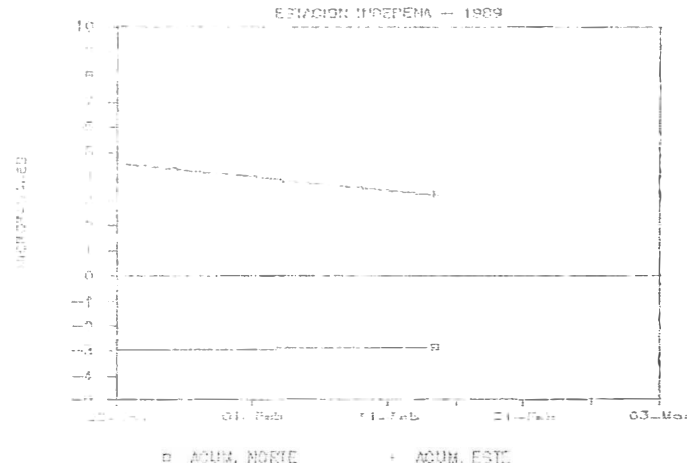
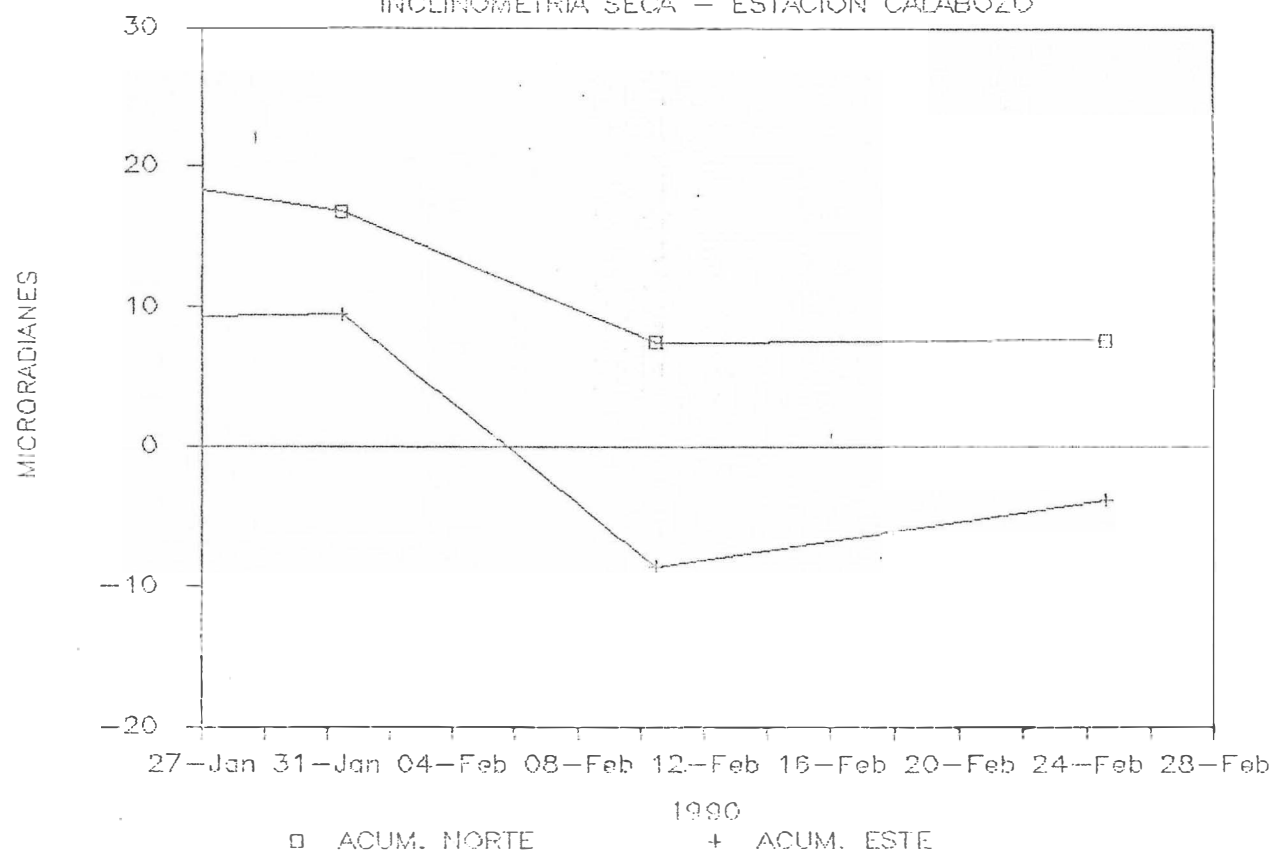


FIG. 4

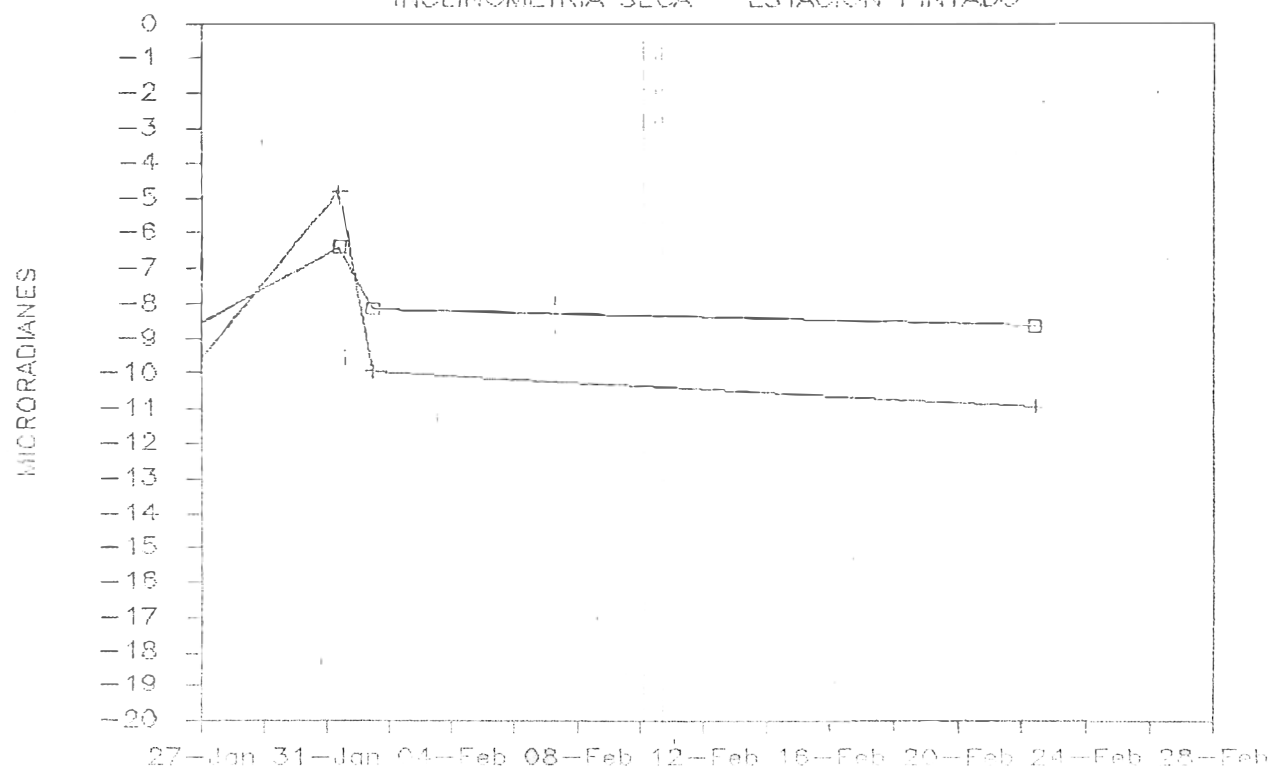
VOLCAN GALERAS -- DEFORMACION

INCLINOMETRIA SECA — ESTACION CALABOZO



VOLCAN GALERAS — DEFORMACION

INCLINOMETRIA SECA — ESTACION PINTADO



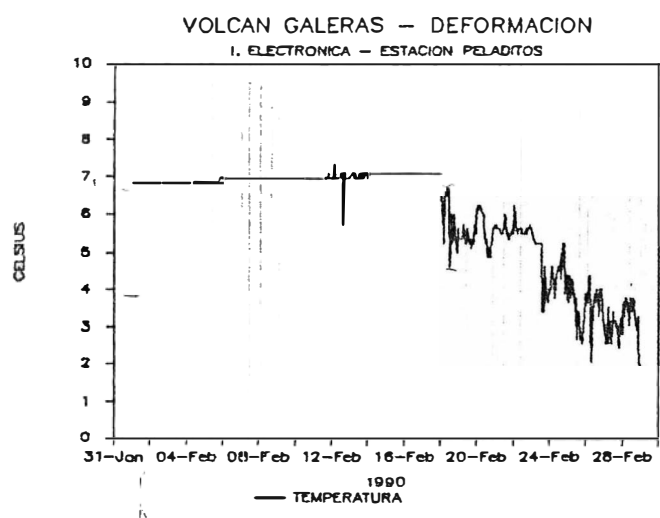
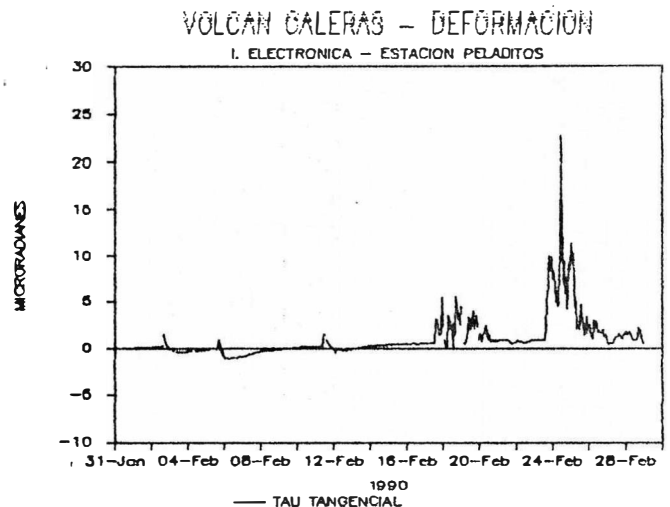
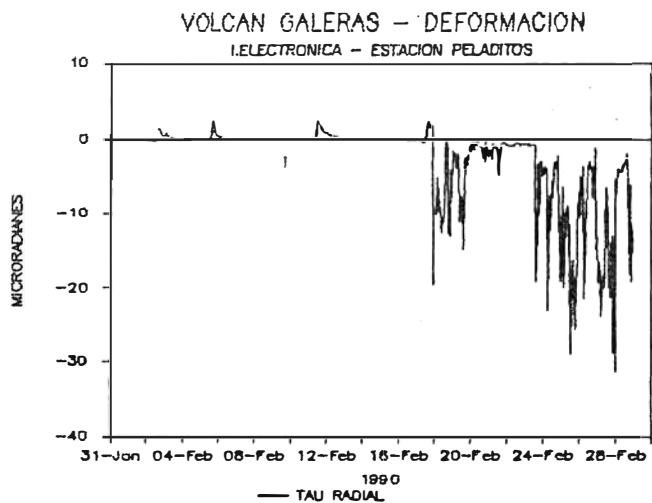


FIG. 7.—

3. GLACIOLOGIA.

Se reiniciaron los trabajos en los glaciares Diablos Rojos I y II, concernientes a la observación y al seguimiento fotográfico terrestre de los fenómenos glaciológicos.

VOLCAN GALERAS

RESUMEN.

Las medidas efectuadas en inclinometría seca no arrojaron cambios representativas, al igual que las realizadas en los vectores cortos de nivelación. En cuanto a inclinometría electrónica, se presentaron algunas variaciones, aspectos que son tenidos en cuenta en el aparte correspondiente. Las adversas condiciones climáticas, especialmente por el régimen de lluvias han dado lugar a una disminución en el trabajo de campo y en especial lo relacionado con la medida electrónica de distancias.

1. INCLINOMETRIA SECA.

Se realizaron 6 mediciones en dos de las estaciones existentes. En la estación El Pintado se puede apreciar según los resultados obtenidos el día 10. la tendencia que traía desde la medición anterior en tanto que en las otras dos mediciones se observa estabilidad en su comportamiento. En la estación Calabozo se siguen observando cambios sustancialmente mayores respecto a los obtenidos en la estación El Pintado. Se ha de seguir considerando para esta estación la influencia del régimen de lluvias en su comportamiento, máxime que se han observado unos niveles de saturación de agua en el lugar donde está ubicada.

En figura 6 se presentan los respectivos acumulados Norte y Este para las estaciones ocupadas en este período del año.

2. INCLINOMETRIA ELECTRONICA.

El análisis para el presente mes debe ser realizado teniendo en cuenta por un lado los datos recepcionados antes del día 17, y por otro, los recibidos con

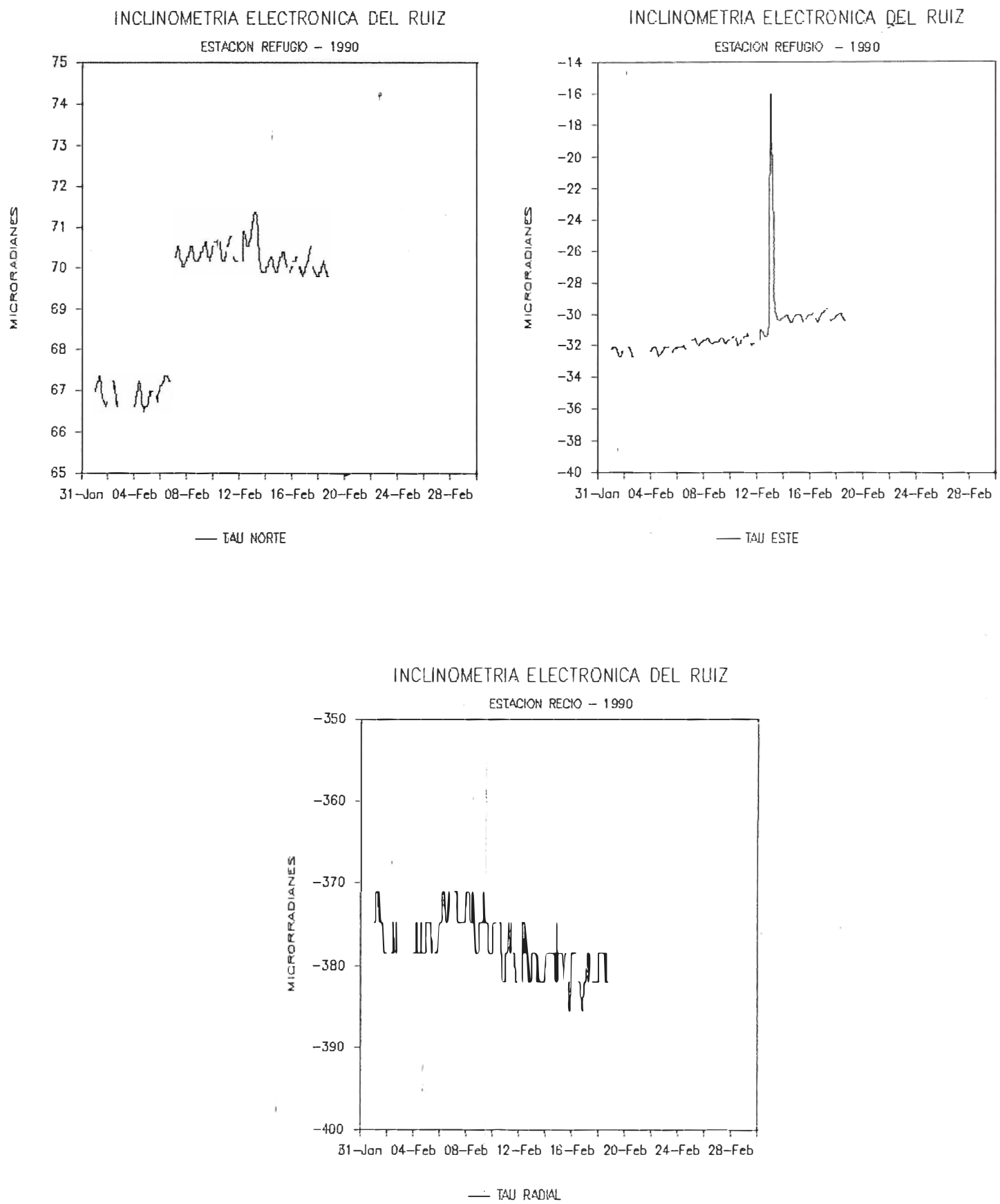


FIG. 5 .—

posterioridad a esta fecha. Las gráficas han sido elaboradas para las dos estaciones asumiendo como valor cero o inicial el correspondiente a las 0 horas del primer día, de tal forma que se pueda obtener un valor comparativo inmediato del comportamiento durante y a lo largo del mes.

Para el primer período de tiempo considerado, al observar conjuntamente las gráficas 7 y 8 en lo relacionado con las componentes Radial tanto de la estación Peladitos como de la estación Telecom, se puede apreciar sin lugar a dudas una perfecta correlación en virtud del comportamiento de la curva en cada una de ellas, en especial para los tres primeros picos, que deja entrever cierta uniformidad en la respuesta instrumental a los esfuerzos presentados, con reportes de emisión de cenizas entre los días 3 al 11 del mes, siendo la mayor la ocurrida el día 3; por otro lado, el día 10 se presenta un alto valor de SQ2 medido con el COSPEC (5270 ton/día con viento - 2687 ton/día sin viento), contenidos que fueron decreciendo en una forma gradual hasta mediados del mes.

Respecto a las componentes Tendencial de las estaciones en mención, aparentemente presentan correlación, mas no es en la totalidad de la curva: se aprecia una respuesta idéntica, aunque de diferente magnitud alrededor del día 18, y posteriormente una inversión en el comportamiento.

Las consideraciones anteriores posiblemente nos llevan a la idea para este primer período de análisis de una idéntica respuesta instrumental a la actividad volcánica en cuanto a deformación se refiere. Un aspecto adicional en sismología es el que los eventos de alta frecuencia mostraron un nivel de ocurrencia mayor comparado con el mes inmediatamente anterior.

En cuanto al segundo período considerado, se presentan variaciones en las dos estaciones. A partir del día 18 de febrero se observa en la actividad sísmica un incremento paulatino en el número de eventos de largo período y pulsos de tremor, mostrando estos últimos cambios en los desplazamientos reducidos calculados.

Pero, una observación a los datos de temperatura en los instrumentos permite visualizar un decremento en los valores de la misma con posterioridad al día 17, fecha a partir de la cual se observan los cambios, presumiblemente anormales. Los mayores cambios en las componentes de la estación Telecom coinciden con las variaciones presentadas en la temperatura, con posterior estabilización. Igual comportamiento se observa en la estación llamada Peladitos

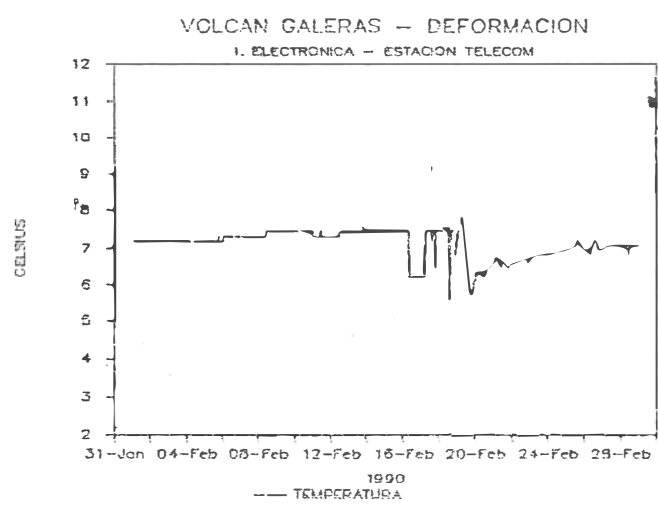
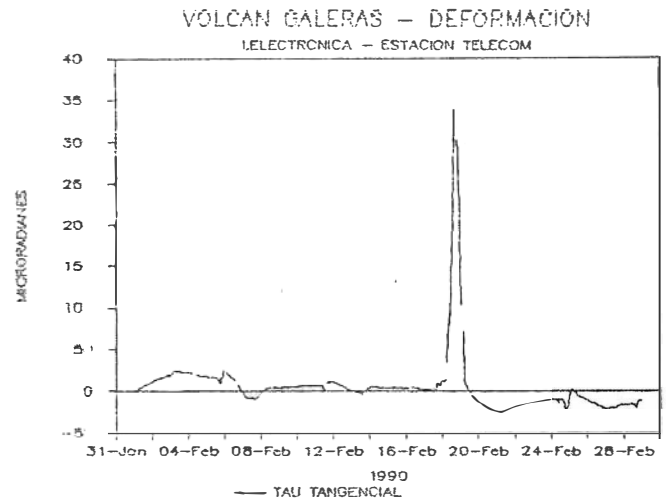
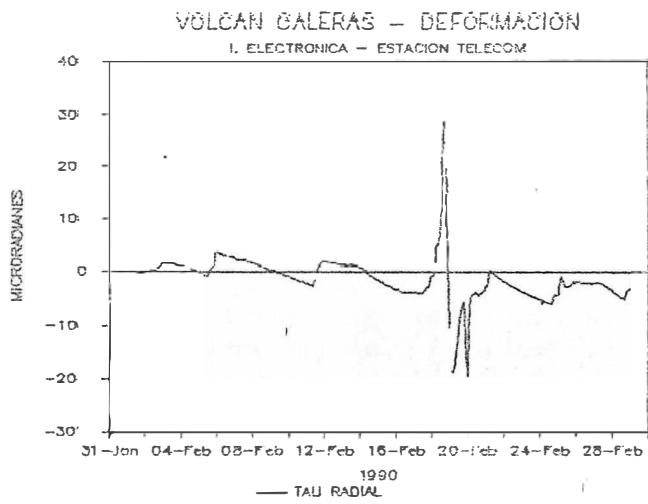


FIG. 8.—

afectando en mayor grado a la componente Radial, con una tendencia oscilante al descenso.

Es preciso hacer mención que el comportamiento aparentemente anómalo de la estación Telecom en meses anteriores se ha corregido cambiando la orientación del instrumento.

3. VECTORES CORTOS DE NIVELACION.

Las medidas efectuadas a lo largo del mes en algunos vectores cortos de nivelación no arrojaron resultados que puedan ser considerados como representativos.

GRUPO DE DEFORMACION.

Héctor Mora P.
Jairo Socarrás B.
Luis F. Guarnizo A.
Jair Ramírez C.

GEOLOGIA - GEOQUIMICA

Dadas las malas condiciones atmosféricas solo se realizaron tres medidas, las cuales fueron llevadas a cabo por el geólogo David Lescinsky de la Universidad de Louisiana (USA), quien se había desplazado a los volcanes Nevado del Ruiz y Galeras para tratar de establecer, conjuntamente con el personal del O.V.C., una relación entre las medidas realizadas con el COSPEC con el método estacionario y las realizadas con el método móvil (vehículo); pero debido a estas condiciones desfavorables no se pudo llevar a cabo tal misión.

Los resultados que obtuvo con el método móvil fueron:

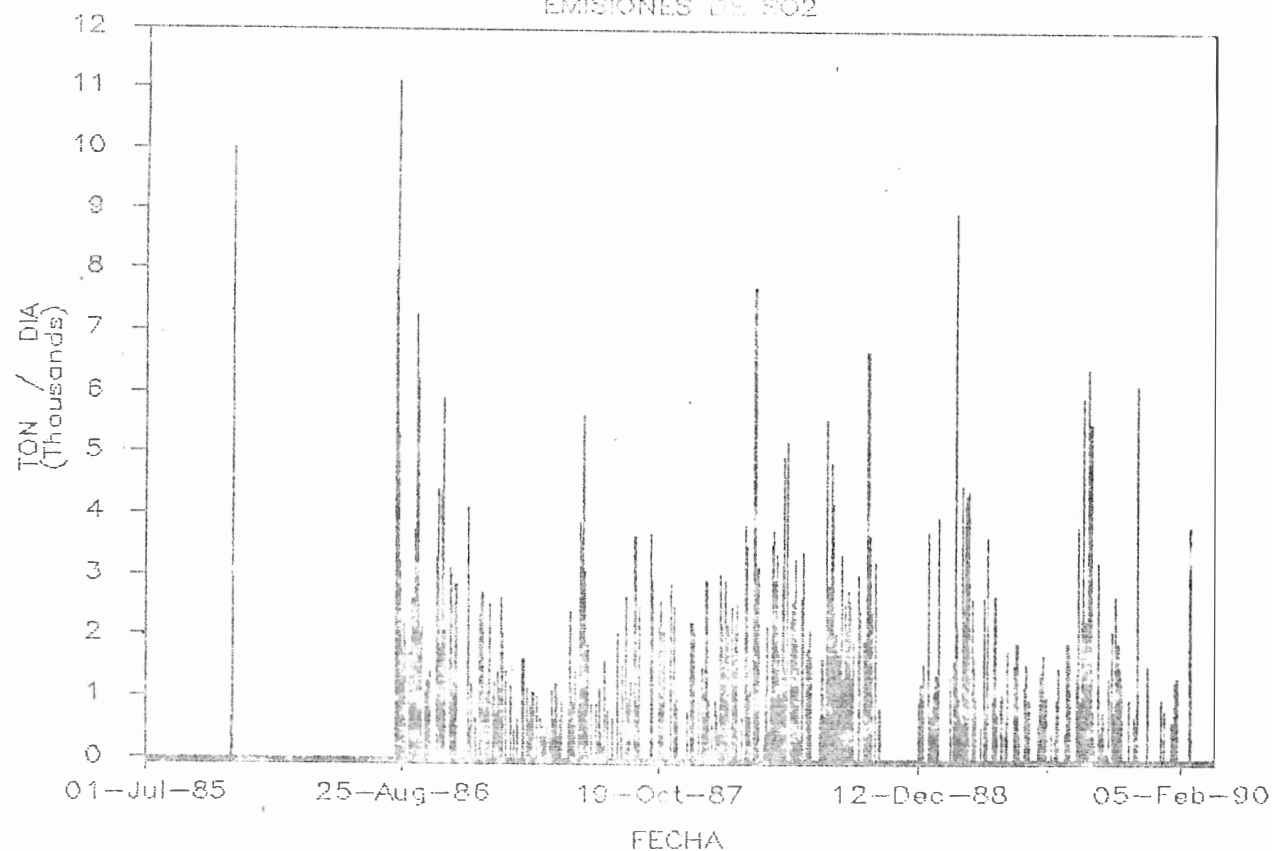
-	-	19	126	ton / dia
		20	3803	
		21	1074	

para un promedio de 1668 ton / dia, con vientos que oscilaron entre 1 m/seg y 4.5 m/seg; predominando una dirección del viento hacia el sector SSE.

Se realizó un seminario taller sobre Rocas Piroclásticas, dictado por el Dr. Hans Ulrich Schmincke, de la Universidad de Bochum, República Federal de Alemania; llevado a cabo en la ciudad de Pasto entre los días 5 y 26 de Febrero y fue organizado por la Corporación Autónoma Regional del Nariño - CORPONARINO-, la GTZ y el INGEOMINAS.

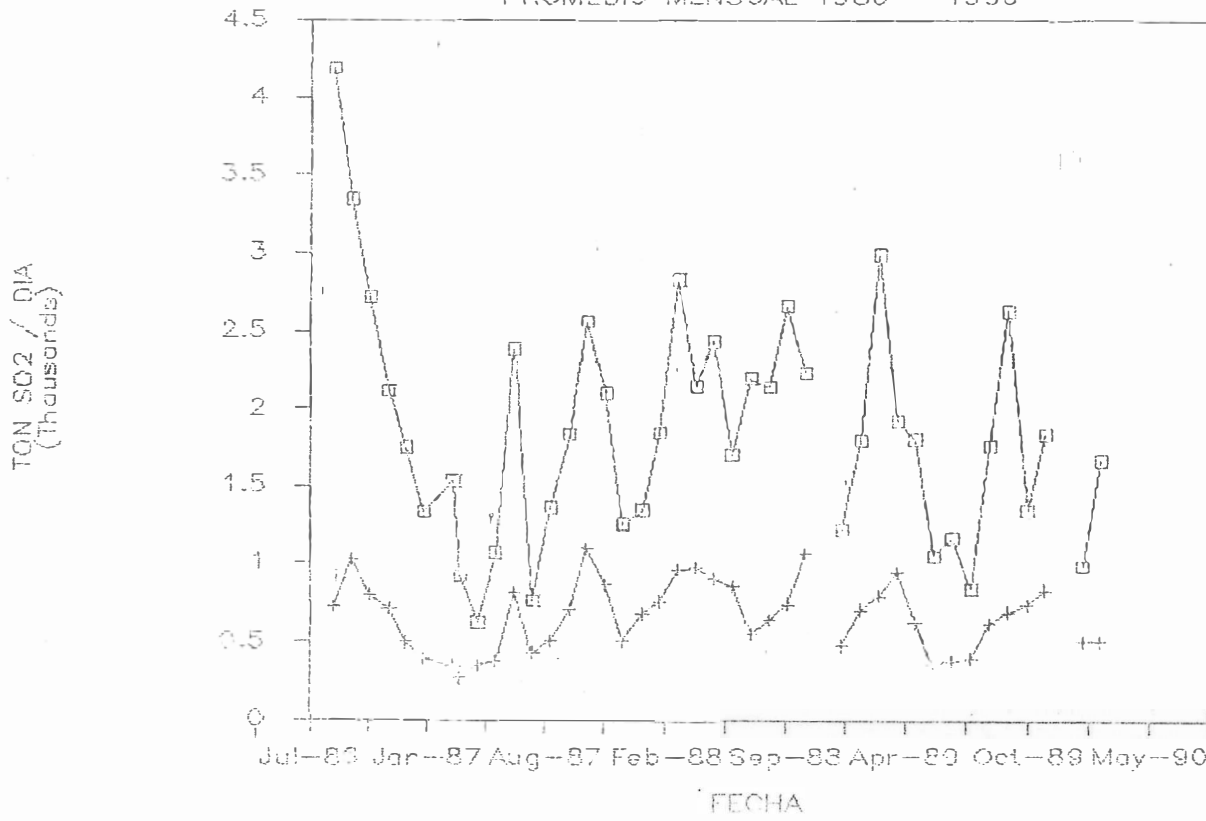
VOLCAN NEVADO DEL RUIZ

EMISIONES DE SO₂



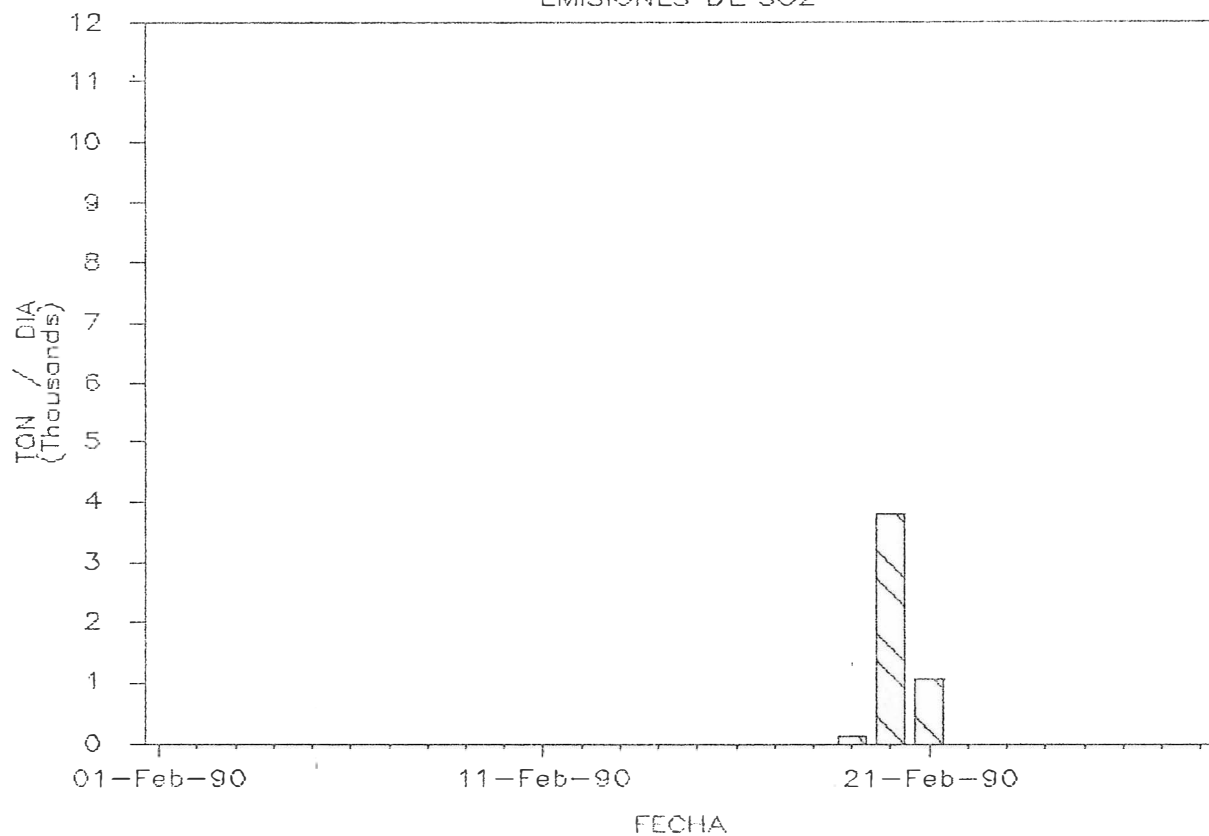
EMISIONES DE SO₂ NEVADO DEL RUIZ

PROMEDIO MENSUAL 1986 - 1990



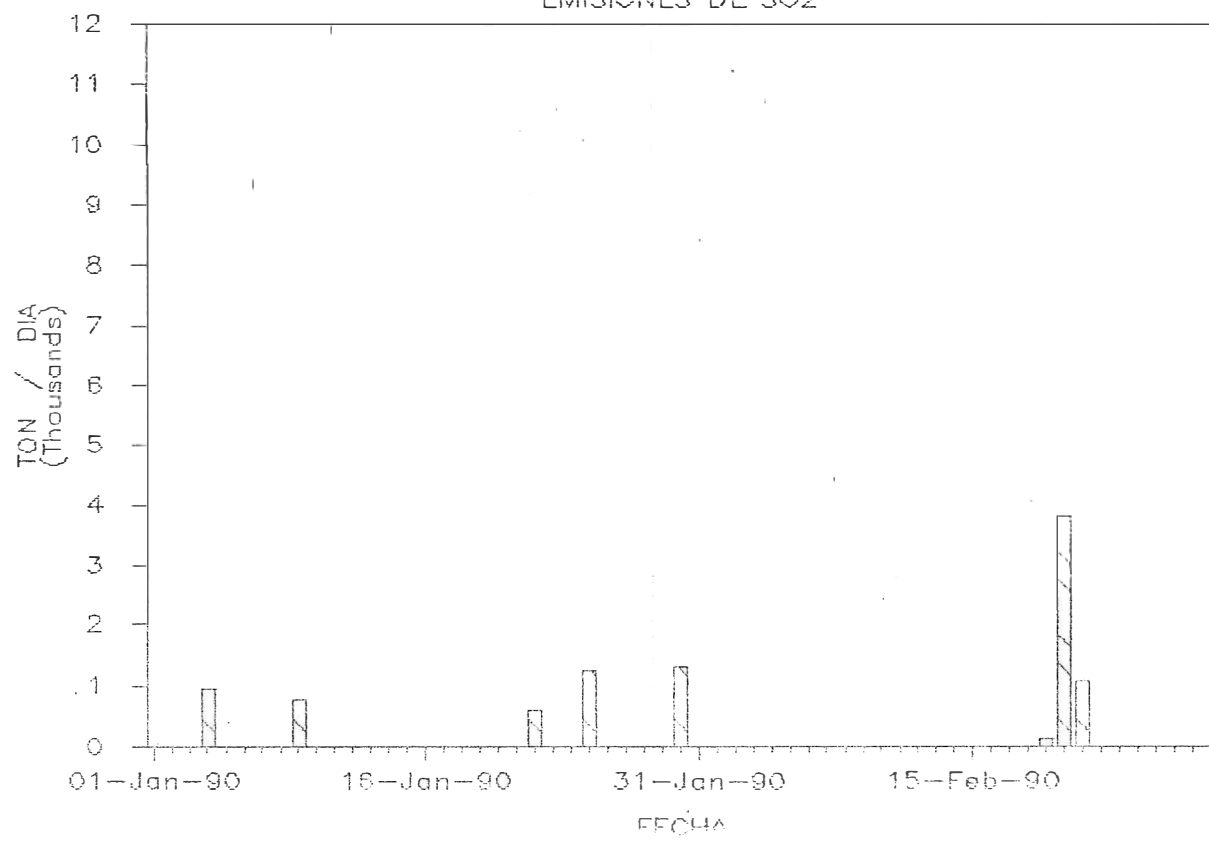
VOLCAN NEVADO DEL RUIZ

EMISIONES DE SO₂



VOLCAN NEVADO DEL RUIZ

EMISIONES DE SO₂



VOLCAN GALERAS

Durante el mes de Febrero se realizaron 7 mediciones de SO₂. Los resultados obtenidos muestran un valor alto el día 10 de dicho mes con 5374 toneladas métricas, que representa el mayor valor registrado en el Volcán Galeras desde que se inició el monitoreo de gases con el método COSPEC. Los días restantes se caracterizaron por emisiones moderadas con valores que oscilaron entre 575 y 2512 toneladas por día.

La velocidad del viento presentó datos entre 1.0 y 2.0 m / seg., con dirección dispersa.

FECHA	VIENTO Veloc.	TONELADAS/DIA (con viento)	TONELADAS/DIA (sin viento)
90/2/09	1.9	1783	938
90/2/10	2.0	5374	2687
90/2/12	1.7	2512	1478
90/2/14	1.8	2097	1146
90/2/17	1.1	851	773
90/2/22	1.0	575	575
90/2/23	1.0	2022	2022

Los días 9, 10 y 12 de este mes se realizaron mediciones con el COSPEC (método estacionario), por parte de David Lescinsky de la Universidad de Louisiana (Estados Unidos) con la participación de personal del Observatorio Vulcanológico de Colombia. Las malas condiciones atmosféricas no permitieron obtener buenos resultados, por lo que los pocos valores obtenidos no constituyen una muestra representativa de la actividad general en el volcán.

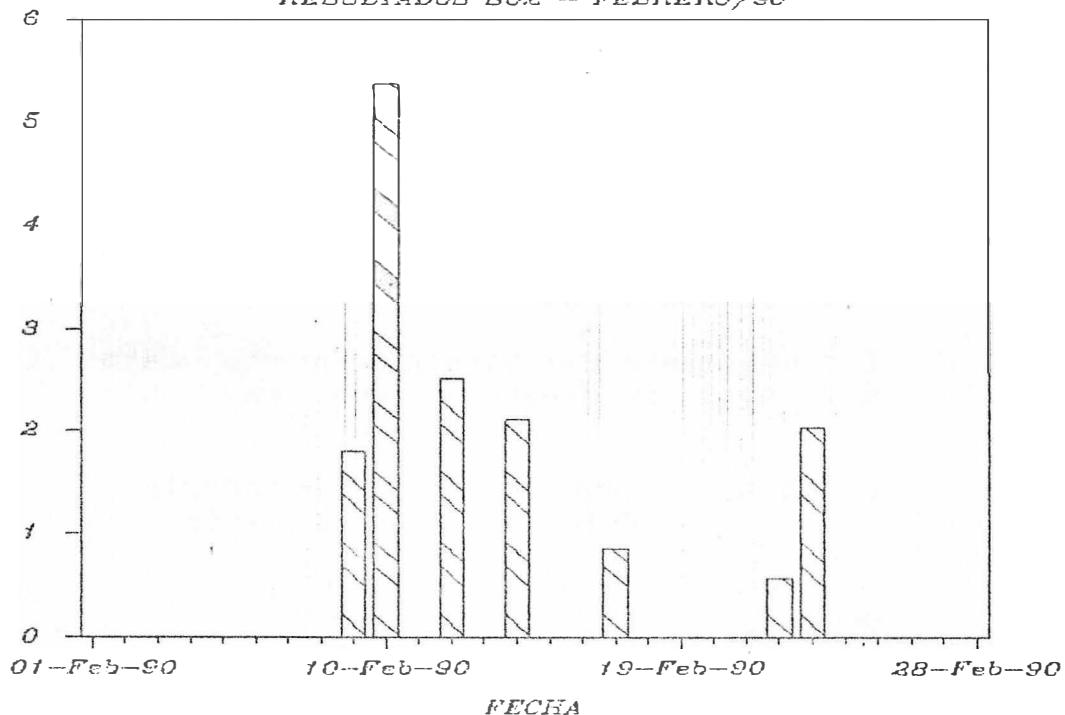
Los días 8 y 27 de Febrero se efectuaron visitas al cráter con el objeto de recolectar muestras de gases y observar las posibles variaciones morfológicas en sus alrededores. La actividad fumarólica presentó un leve incremento en la parte Norte del volcán, mientras que continua la depositación de azufre en sectores cercanos a las diferentes fumarolas. Las muestras tomadas se están analizando en el laboratorio de Química de INGEOMINAS Regional Pacífico - Cali.

GRUPO GEOQUIMICA

José Arles Zapata G.

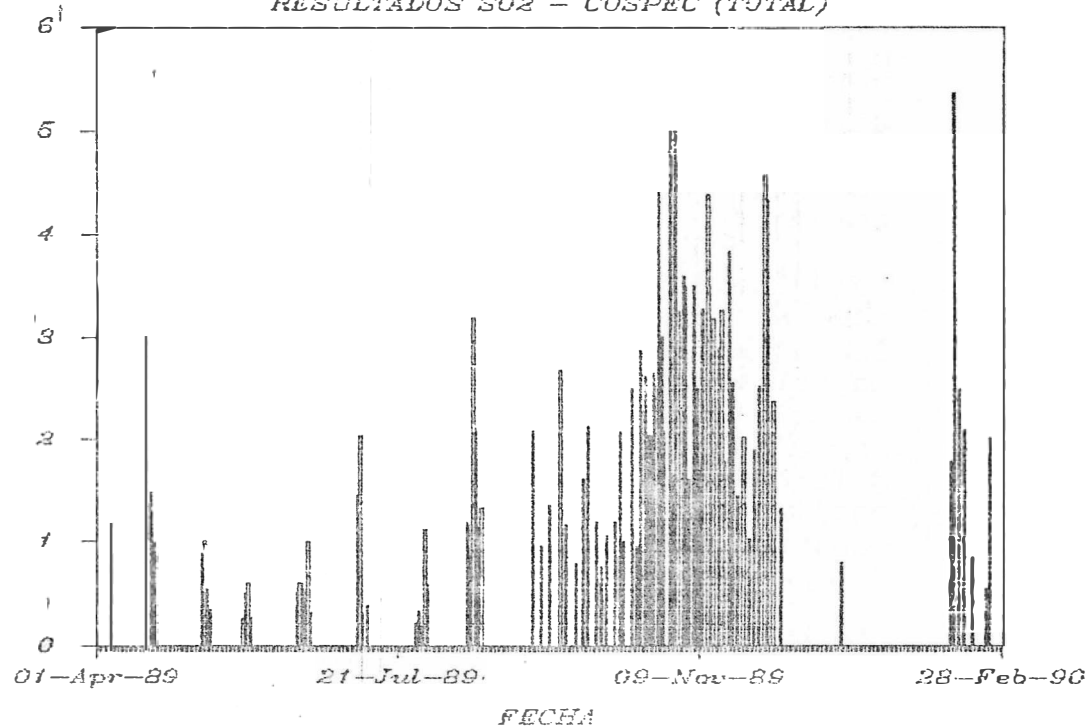
VOLCAN GALERAS — COLOMBIA
RESULTADOS SO₂ — FEBRERO/90

TONELEDAS METRICAS
(Thousands)



VOLCAN GALERAS — COLOMBIA
RESULTADOS SO₂ — COSPEC (TOTAL)

TONELEDAS METRICAS
(Thousands)



A CONTINUACION SE PRESENTA LA LISTA DE ESTUDIANTES QUE HAN ESTADO VINCULADOS PERMANENTEMENTE CON EL OBSERVATORIO VULCANOLOGICO DE COLOMBIA Y CUYO TRABAJO HA TENIDO UN INMENSO VALOR EN LOS DIFERENTES FRENTES DE INVESTIGACION:

GRUPO DE SISMOLOGIA:

Estudiantes de la Universidad de Caldas

Monica Arcila Rivera
Hugo Fernando Ballesteros
Libaniel Casas Ospina
Herman Tulio Garcia
Carlos Alberto Gonzalez
Jose Mario Martinez
Leonidas Robledo Sanchez
Juan Manuel Ruano

GRUPO DE GEOLOGIA:

Hernan Tadeo Valencia